

Ecole Centrale Paris
Laboratoire EM²C

Radiative transfer and atom transport

Transfert radiatif et transport d'atomes

Postdoc Report of

Carsten Henkel

Mars–Juillet 1997 (preprint date : May 2005)

Foreword to the preprint version

This report summarizes a post-doctoral training period of four months that I spent, eight years ago, in the group working on Propagation and Scattering of Electromagnetic Waves that is led by Jean-Jacques Greffet (Ecole Centrale Paris). The report deals with classical and quantum descriptions of particles that interact with smooth random potentials, for example ultracold atoms in the dipole potential of an optical speckle pattern. In addition, a discussion of the link between Radiative Transfer theory and the underlying coherence theory of wave optics is presented. The Radiative Transfer Equation is shown to emerge as a limiting case of the Bethe-Salpeter Equation, and some next-order corrections are discussed.

I decided to put this material on the arxiv because of a recent explosion of interest in the transport of ultracold atoms in the multiple scattering regime. Also a number of colleagues have benefited from the parts dealing with Radiative Transfer. I hope that these pages may be useful for other interested scientists as well.

The report is written in French which may cause difficulties, although only basic vocabulary is used, and the technical terms are mainly identical to the English ones (some English equivalents are given in footnotes, if needed). Just keep in mind that the French *diffusion* means ‘scattering’, while *diffusion spatiale* is used for ‘diffusion’. In case you really get stuck, please do not hesitate to contact me at carsten.henkel@physik.uni-potsdam.de

C. Henkel, Potsdam, 03 May 2005.

Remerciements

Je tiens d’abord à remercier Jean-Jacques Greffet de m’avoir accueilli au Laboratoire « EM2C » de l’Ecole Centrale Paris, ainsi d’avoir pu jouir d’excellentes conditions de travail.

Merci également aux autres membres de son groupe d’électro-magnétisme : aux thésards Olivier Calvo, Laurent Roux, Jean-Baptiste Thibaud, à Rémi Bussac, Pedro Valle et Anne Sentenac. Merci aussi aux étudiants du groupe des « combustionnistes », et plus particulièrement à Metta et Katja, Sébastien Pax(ion), Olivier Delabroy, Manuel et Ulrich.

Merci à Gilbert pour l’assistance avec le réseau d’ordinateurs. Merci à Caroline et Stéphanie pour votre aide avec les démarches administratives.

C’est un temps agréable que j’ai passé avec vous.

Table des matières

Foreword	1
Remerciements	1
Introduction	4
Le problème	4
Approches théoriques	5
Petit historique	6
Plan du rapport	6
1 Transfert radiatif	8
1.1 La luminance	8
1.2 Hypothèses pour le transport radiatif	9
1.3 Relation à une équation de FOKKER–PLANCK	9
1.4 Mouvement diffusif des directions des rayons	10
1.5 Conclusions	11
2 Transport d’atomes — point de vue classique	13
2.1 Modèle pour un potentiel aléatoire	13
2.2 Distribution dans l’espace des phases	15
2.3 Dérivation d’une équation de Fokker–Planck	15
2.3.1 Approche heuristique	15
2.3.2 Discussion physique	18
2.4 Démonstrations plus rigoureuses	20
2.4.1 Méthode pédestre	20
2.4.2 Développement multi-échelles de RYZHIK, PAPANICOLAOU et KELLER	21
2.4.3 Raisonnement formel de FRISCH	24
2.5 Conclusions	26
2.6 Exemples de transport classique	26
2.6.1 Diffusion des vitesses	27
2.6.2 Diffusion spatiale	29
3 Transport d’atomes — point de vue ondulatoire	31
3.1 Introduction	31
3.2 Point de vue de RYZHIK <i>et al.</i>	33

3.2.1	Equation de transport à grande échelle	33
3.2.2	Discussion	34
3.2.3	Conclusion	34
3.3	Diffusion multiple des ondes	35
3.3.1	Fonction de GREEN moyenne	35
3.3.2	Approximation de BOURRET	37
3.3.3	Equation de BETHE–SALPETER	40
3.4	Lien à l'équation du transfert radiatif	41
3.4.1	BETHE–SALPETER dans WIGNER	42
3.4.2	Comparaison à l'équation de transfert	44
3.4.3	Solution approchée à grandes distances	45
3.4.4	Echelle spatiale minimale pour l'ETR	48
3.5	Réciprocité et rétro-diffusion exaltée	56
3.6	Conclusion et perspectives	56
Conclusion		59
Le transport des ondes		59
Perspectives		60
Bibliographie		62

Introduction

Le problème

Le présent rapport résume les quelques idées que j'ai pu explorer au sujet du transport, que ce soit de lumière ou d'atomes. Ce sujet est né d'une question apparue vers la fin de ma thèse :

lorsque des atomes de basse température traversent un champ lumineux de tavelures, qu'arrive-t-il à leur distribution de vitesse ? Et qu'en est-il de la cohérence spatiale des ondes de DE BROGLIE associée aux atomes ?

Une telle question a un intérêt immédiat pour ce que l'on appelle « l'optique atomique », qu'il s'agisse de l'imagerie d'atomes ou de l'interférométrie. Le groupe d'optique atomique à l'Institut d'Optique à Orsay a pu observer dans l'expérience du miroir à atomes [Landragin96b] que la traversée du champ de tavelures élargit la distribution des vitesses transverses, perpendiculaires à la vitesse moyenne des atomes. Dans une telle expérience, des champs de tavelures apparaissent à cause de faisceaux lumineux parasites ou bien par diffusion sur une surface rugueuse. L'élargissement de la vitesse transverse dépend en particulier de la quantité de lumière parasite. Dans le cas le moins favorable, il empêchait d'observer la diffraction d'atomes par un réseau en réflexion parce que la largeur angulaire du faisceau atomique devenait trop importante.

D'un point de vue théorique, le mouvement d'une onde de matière dans un champ de tavelures se résume à un problème de propagation d'une onde dans un milieu aléatoire où l'onde subit des multiples collisions élastiques. Sous cet éclairage, l'on conçoit aisément qu'il y a un grand nombre de situations physiques où apparaît un problème analogue :

- la diffusion de la lumière dans un milieu fortement diffusant (atmosphères stellaire ou terrestre, liquides, peintures, tissus biologiques) ;
- le transport des électrons dans un solide « réel » (avec des défauts et des vibrations thermiques), avec des applications pour la conductivité ;
- la diffusion des neutrons dans les réacteurs à fission ;
- la propagation des ondes sismiques à travers le globe terrestre ;
- et d'autres exemples encore (arrêt d'un faisceaux de particules radioactives dans une matrice solide, mouvement de boules dans un terrain rugueux, marche au hasard d'une particule, mouvement d'atomes dans un champ laser résonnant ...)

Il est donc naturel d'explorer les analogies avec ces problèmes pour trouver des méthodes qui permettent de répondre aux questions posées.

Approches théoriques

Une caractéristique commune de ces méthodes théoriques est qu'elles sont des *approches statistiques* : au lieu de décrire le mouvement d'une particule (ou d'une onde) donnée dans un milieu aléatoire donnée, l'on se résigne à calculer un *mouvement moyen*, que l'on espère « typique » pour une mesure portant sur un grand nombre de particules (ondes). L'on construit ainsi une *théorie de transport* pour les particules (ondes). La quantité dont on calcule la valeur moyenne dépend de la situation expérimentale que l'on envisage : une fonction d'onde moyenne si celle-ci interfère avec un « oscillateur local », c'est-à-dire une onde de référence avec une phase fixée ; une fonction de cohérence de l'onde si l'on étudie une figure d'interférence moyennée sur un grand nombre de réalisations du système ; ou encore une fonction de corrélation d'ordre quatrième (corrélations d'intensité), lorsque l'on s'intéresse par exemple aux propriétés de la figure d'interférence créée par une seule réalisation de l'expérience (cette situation s'applique à l'interférence entre deux condensats de BOSE-EINSTEIN ou encore aux tavelures lumineuses d'un faisceau laser cohérent).

Les exemples que l'on vient de donner s'inscrivent essentiellement dans un cadre statistique *ondulatoire*, où les objets de base sont des ondes (ou champs), comme les ondes de matière ou lumineuses. Il existe également des problèmes où ce sont des *particules* qui sont diffusées dans un milieu aléatoire. Dans ce cas, il n'a pas de sens de parler d'ondes ou d'interférence : la description naturelle des moyennes du système passe simplement par une densité spatiale ou une distribution des vitesses. L'on est habitué à une telle approche par la théorie cinétique des gaz dont le point de départ est l'équation de BOLTZMANN : cette équation décrit comment la fonction de distribution d'un ensemble de particules évolue en présence d'une force extérieure d'une part, et des collisions entre particules d'autre part. Un autre exemple, un peu moins habituel, est celui du transfert radiatif : l'on considère alors le transport de l'énergie lumineuse dans un milieu diffusant (et/ou absorbant), en décrivant cette énergie par sa distribution en fréquence, en position et direction de propagation (la « luminance »). L'équation de base de cette théorie ressemble à celle de BOLTZMANN et s'appelle celle du transfert radiatif ; elle a été introduite au début du siècle et étudiée abondamment par CHANDRASEKHAR dans un contexte astrophysique, pour modéliser les atmosphères des étoiles [Chandrasekhar]. Les ingrédients de cette équation sont les propriétés d'absorption et de diffusion du milieu. Pour des atomes dans un potentiel aléatoire, une telle approche serait qualifiée de « classique », en opposition à une approche « quantique » où l'on manipule des ondes de matière. Pourtant, comme on sait que ce sont ces dernières qui ont une réalité plus fondamentale, l'on peut se poser la question du rapport entre ces deux approches théoriques : comment se justifie l'approche corpusculaire à partir de l'approche ondulatoire ? Ou encore : dans quelle lim-

ite peut-on se contenter d'une approche corpusculaire, et où vont se manifester des phénomènes proprement ondulatoires ?

Petit historique

Ces questions ont été poursuivies dans le contexte **optique** depuis les années 1960 environ. Il s'agit de fonder l'équation du transfert radiatif (description quasi-corpusculaire, absence d'interférences) sur la théorie de la diffusion multiple des ondes dans les milieux aléatoires. C'est maintenant que l'on se rend compte du travail énorme des physiciens soviétiques dans ce domaine [Kravtsov96]. Il est devenu clair que l'approche du transfert radiatif est valable pour des champs lumineux dont les profils spatiaux varient lentement à l'échelle de leur longueur de cohérence (des champs « quasi-uniformes »). Cette approche n'est plus valable, par exemple, pour rendre compte de la rétro-diffusion exaltée ("*coherent backscattering*"), ou encore de la localisation (« forte ») des ondes dans un milieu désordonné. Dans ce rapport, nous allons nous appuyer abondamment sur l'analogie avec la diffusion de la lumière. En particulier, nous allons élaborer un peu les conditions de validité de l'équation du transfert radiatif.

Dans le domaine du transport des **électrons** dans les solides, le développement s'est poursuivi de façon plutôt indépendante, semble-t-il. Le travail de P.-W. ANDERSON sur la localisation des électrons dans un réseau désordonné ("*Absence of diffusion in certain random lattices*", [Anderson58]) a été d'un impact remarquable parce qu'il a donné un exemple où les interférences ont des conséquences dramatiques pour le transport (une propriété plutôt « macroscopique »). Depuis, d'autres phénomènes d'origine ondulatoire ont été étudiés, comme par exemple les « fluctuations de conductance universelles ». Un temps assez long s'est écoulé jusqu'à ce que l'on prenne conscience que la localisation des électrons provient simplement de leur caractère ondulatoire, et que la localisation existe par conséquent également pour les ondes lumineuses (voir [vanTiggelen96]). C'est dans ce contexte qu'a été prédite et observée la rétro-diffusion exaltée de la lumière, un autre effet au-delà de l'équation standard du transfert radiatif.

En ce qui concerne les **neutrons**, les recherches intenses dans les réacteurs nucléaires ont rapidement conduit à une théorie du transport par analogie avec le transfert radiatif. Des formalismes très divers ont été utilisés, par physiciens et mathématiciens, pour la justifier à partir d'une approche microscopique [Overhauser59, Osborn65, Riska68, Bobker79]. La conclusion actuelle semble que l'équation du transfert radiatif est valable aux grandes échelles spatiales et pour des énergies pas trop basses.

Plan du rapport

Ce rapport contient trois chapitres dont le **premier** présente l'équation du transfert radiatif pour la lumière d'un point de vue phénoménologique. Nous étudions en parti-

culier la limite où le milieu diffuseur favorise la diffusion vers l'avant (les petits angles de diffusion). Dans ce régime, l'on peut reformuler le transfert radiatif à l'aide d'une équation de FOKKER-PLANCK.

Nous retrouverons cette approche au **second** chapitre qui est consacré au point de vue classique du transport d'atomes dans un potentiel aléatoire. Nous montrons que c'est aux échelles spatiales grandes par rapport à la longueur de corrélation du potentiel, que la distribution moyenne des atomes dans l'espace des phases vérifie une équation de FOKKER-PLANCK. Nous en calculons le tenseur de diffusion des vitesses. Aux temps encore plus longs (pour des atomes très lents), la distribution spatiale atomique est décrite par une équation de diffusion spatiale dont nous déterminons le coefficient de diffusion.

Le **troisième** chapitre étudie le point de vue ondulatoire : la diffusion multiple des ondes de matière dans un milieu aléatoire. Nous introduisons les concepts statistiques pertinents ainsi que leurs équations d'évolution. Le fil rouge du chapitre est de détailler le passage vers une approche du type transfert radiatif. Le problème est présenté de façon à couvrir aussi bien la diffusion de la lumière que celle des atomes. Nous mettons en évidence l'échelle spatiale minimale au-dessus de laquelle l'équation du transfert radiatif est équivalente aux approches ondulatoires statistiques.

Chapitre 1

Transfert radiatif

Une petite introduction dans la théorie du transfert radiatif. La lumière y est décrite par la *luminance*. Nous étudions un peu plus en détail la situation d'une diffusion « piquée vers l'avant », où l'équation du transfert radiatif peut être écrite sous la forme d'une équation de FOKKER–PLANCK. Nous verrons au chapitre suivant qu'une équation identique apparaît pour le transport d'atomes. On illustre de cette façon le passage entre des théories ondulatoire et corpusculaire.

1.1 La luminance

La quantité centrale pour décrire la lumière dans le transfert radiatif est la *luminance* $\mathcal{I}(\mathbf{r}, \mathbf{u})$: elle représente la puissance rayonnée $d\mathcal{F}$ par un élément de surface $d\sigma$ situé à la position \mathbf{r} , dans un élément d'angle solide $d\Omega$ autour de la direction caractérisée par le vecteur unitaire \mathbf{u} (voir le chapitre 5.7 de MANDEL et WOLF [MandelWolf] et le chapitre 4.3 de RYTOV, KRAVTSOV et TATARSKII [Rytov]) :

$$d\mathcal{F} = \mathcal{I}(\mathbf{r}, \mathbf{u})d\sigma \cdot d\Omega \quad (1.1)$$

L'équation d'évolution pour la luminance est celle du transfert radiatif :

$$\mathbf{u} \cdot \nabla_r \mathcal{I} = \underbrace{S(\mathbf{r}, \mathbf{u})}_{\text{sources}} - \underbrace{\beta(\mathbf{r})\mathcal{I}}_{\text{atténuation}} + \frac{1}{\ell_{\text{ex}}(\mathbf{r})} \int_{4\pi} \underbrace{d\Omega' p(\mathbf{u}, \mathbf{u}'; \mathbf{r})\mathcal{I}(\mathbf{r}, \mathbf{u}')}_{\text{re-diffusion}} \quad (1.2)$$

Cette équation traduit les processus suivants :

- l'énergie lumineuse est transportée dans la direction \mathbf{u} le long des rayons géométriques ;
- la lumière peut être émise par une source $S(\mathbf{r}, \mathbf{u})$ dans la direction \mathbf{u} ;
- elle peut être atténuée par de l'absorption ou de la diffusion. Ce processus est caractérisé par un coefficient $\beta(\mathbf{r})$;

- la diffusion redistribue les directions de l'intensité lumineuse. Ce processus est décrit par le libre parcours moyen¹ $\ell_{\text{ex}}(\mathbf{r})$ (égal à la section efficace totale par unité de volume) et la « fonction de phase » $p(\mathbf{u}, \mathbf{u}'; \mathbf{r})$ que l'on peut interpréter comme une « section efficace différentielle de diffusion » pour un processus où un rayon venant d'une direction \mathbf{u}' est diffusé dans la direction \mathbf{u} .

1.2 Hypothèses pour le transport radiatif

1. L'on décrit le milieu à une *échelle spatiale grande devant la longueur d'onde optique* (pour pouvoir définir une puissance rayonnée dans une direction par unité de surface). Ceci implique que les coefficients $\beta(\mathbf{r})$ et $f(\mathbf{u}, \mathbf{u}'; \mathbf{r})$ et bien sûr la luminance $\mathcal{I}(\mathbf{r}, \mathbf{u})$ elle-même varient lentement, en fonction de la position \mathbf{r} , à l'échelle de la longueur d'onde optique.
2. La diffusion de la lumière est supposée *élastique* : c'est seulement la direction de la lumière, mais non pas sa fréquence qui est modifiée par le milieu. Dans cette hypothèse, l'on peut formuler une équation du transport radiatif pour chaque fréquence lumineuse séparément. Il est cependant immédiat de rendre compte de la diffusion inélastique en introduisant une section efficace inélastique et une dépendance de la luminance de la fréquence.

1.3 Relation à une équation de FOKKER–PLANCK

Afin de comparer l'équation du transport radiatif (1.2) au transport d'atomes, une petite modification : nous allons en déduire une équation de type FOKKER–PLANCK que nous retrouverons également pour les atomes. A cette fin, nous supposons que la re-diffusion de la lumière s'effectue surtout autour de la direction vers l'avant, c'est-à-dire que dans la fonction de phase $f(\mathbf{u}, \mathbf{u}'; \mathbf{r})$, le vecteur « diffusé » \mathbf{u} pointe dans une direction voisine du vecteur « incident » \mathbf{u}' . Une telle situation correspond, par exemple, à la diffusion par des inhomogénéités d'indice, lorsque celles-ci sont beaucoup plus grandes que la longueur d'onde. Ce cas se présente fréquemment dans la diffusion de la lumière par des tissus biologiques.

Dans la limite d'une diffusion piquée vers l'avant, nous pouvons développer la luminance $\mathcal{I}(\mathbf{r}, \mathbf{u}')$ au troisième terme dans (1.2) en fonction de \mathbf{u}' . Ceci faisant, l'on obtient l'expression suivante pour le terme de re-diffusion :

$$\text{re-diffusion} \rightarrow \frac{1}{\ell_{\text{ex}}(\mathbf{r})} \mathcal{I}(\mathbf{r}, \mathbf{u}) + \sum_{\alpha} F_{\alpha}(\mathbf{r}) \partial_{u_{\alpha}} \mathcal{I}(\mathbf{r}, \mathbf{u}) + \sum_{\alpha\beta} D_{\alpha\beta}(\mathbf{r}) \partial_{u_{\alpha}} \partial_{u_{\beta}} \mathcal{I}(\mathbf{r}, \mathbf{u}) \quad (1.3)$$

¹L'indice « ex » indique qu'il s'agit de la distance caractéristique pour l'extinction de la partie cohérente du champ lumineux.

où $u_{\alpha,\beta}$ désignent les directions perpendiculaires au vecteur \mathbf{u} . (Ce sont seulement ces directions-ci qui interviennent dans la dérivée, étant donné que \mathbf{u} est un vecteur unitaire.) Dans (1.3), $F_\alpha(\mathbf{r})$ est la « force moyenne » et $D_{\alpha\beta}(\mathbf{r})$ le tenseur de diffusion. Ils sont donnés par

$$F_\alpha(\mathbf{r}) = \frac{1}{\ell_{\text{ex}}(\mathbf{r})} \int_{4\pi} d\Omega' (u'_\alpha - u_\alpha) p(\mathbf{u}, \mathbf{u}'; \mathbf{r}) \quad (1.4)$$

$$D_{\alpha\beta}(\mathbf{r}) = \frac{1}{2\ell_{\text{ex}}(\mathbf{r})} \int_{4\pi} d\Omega' (u'_\alpha - u_\alpha)(u'_\beta - u_\beta) p(\mathbf{u}, \mathbf{u}'; \mathbf{r}) \quad (1.5)$$

Notons qu'une telle formulation du transfert radiatif a été étudiée en détail par G. C. POMRANING [Pomraning95], dans le contexte de l'arrêt d'un faisceau de particules à l'intérieur d'un solide diffusant. Le groupe de J. M. LUCK l'a également utilisée pour trouver des solutions analytiques dans une géométrie planaire [Luck96].

Lorsque le milieu diffuseur est statistiquement isotrope (la fonction de phase ne dépend que de $\cos \theta \equiv \mathbf{u} \cdot \mathbf{u}'$), la force $F_\alpha(\mathbf{r})$ s'annule et le tenseur $D_{\alpha\beta}(\mathbf{r})$ est proportionnel au KRONECKER $\delta_{\alpha\beta}$:

$$\text{milieu isotrope : } D_{\alpha\beta}(\mathbf{r}) = \frac{\delta_{\alpha\beta}}{4\ell_{\text{ex}}(\mathbf{r})} \langle \sin^2 \theta \rangle_p \approx \frac{\delta_{\alpha\beta}}{4\ell_{\text{ex}}(\mathbf{r})} \langle \theta^2 \rangle_p \approx \frac{\delta_{\alpha\beta}}{2\ell_{\text{trans}}^*(\mathbf{r})}$$

où $\ell_{\text{trans}}^* = \ell_{\text{ex}} / (1 - \langle \cos \theta \rangle)$ est le libre parcours moyen de transport. Nous constatons donc que les éléments du tenseur de diffusion correspondent à la valeur quadratique moyenne de la déviation angulaire par unité de longueur des rayons. Ceci appelle à une interprétation physique de l'équation de FOKKER–PLANCK (1.3).

1.4 Mouvement diffusif des directions des rayons

Introduisons les angles θ, ϕ pour le vecteur unitaire \mathbf{u} et supposons que le milieu diffusant est sans sources, non-absorbant et isotrope. Le tenseur de diffusion s'écrit alors $D_{\alpha\beta} = D \delta_{\alpha\beta}$ et l'équation de F.–P. pour la luminance devient

$$\mathbf{u} \cdot \nabla_r \mathcal{I}(\mathbf{r}, \theta, \phi) = D \left[\frac{1}{\sin \theta} \frac{\partial}{\partial \theta} \left(\sin \theta \frac{\partial}{\partial \theta} \right) + \frac{1}{\sin^2 \theta} \frac{\partial^2}{\partial \phi^2} \right] \mathcal{I}(\mathbf{r}, \theta, \phi) \quad (1.6)$$

Les dérivées angulaires correspondent au Laplacien sur la sphère. Leurs fonctions propres sont donc les polynômes de LEGENDRE $P_n(\cos \theta) e^{im\phi}$. Pour une luminance qui est initialement collimatée autour de la direction $\theta = 0$ (l'axe Oz), FRISCH donne alors la solution explicite suivante ([Frisch66], éq. (19.20))

$$\begin{aligned} \mathcal{I}(z, \theta, \phi) &= \frac{1}{4\pi} \sum_{n=0}^{\infty} (2n+1) P_n(\cos \theta) e^{-n(n+1)Dz} \\ \mathcal{I}(z=0, \theta, \phi) &= \delta(\theta) \end{aligned} \quad (1.7)$$

On en déduit que les structures angulaires fines (les harmoniques sphériques supérieurs avec n grands) sont amorties plus rapidement que les variations angulaires « molles ». Dans la limite $z \rightarrow \infty$ d'un milieu profond, il ne subsiste plus qu'une distribution angulaire isotrope ($n = 0$). La distance caractéristique L pour l'« isotropisation » de la luminance est donnée par l'inverse du coefficient de diffusion

$$L \sim \frac{1}{D} = \frac{\ell_{\text{trans}}^*}{2} \quad (1.8)$$

Pour une fonction de phase très piquée vers l'avant, cette distance (le libre parcours moyen de transport) est beaucoup plus grande que la longueur d'atténuation ($\sim \ell_{\text{ex}}$) de la partie collimatée du faisceau lumineux. La solution explicite (1.7) permet donc d'apprécier la transition entre un « transport balistique » (distribution angulaire piquée) et un transport diffusif (distribution angulaire isotrope). Ce qui lui manque, c'est de prendre en compte le profil spatial de l'intensité incidente que l'on suppose en effet uniforme.

A titre d'exemple, considérons l'évolution de la « directivité » de la luminance ; la solution (1.7) donne

$$\langle \cos \theta \rangle = e^{-z/\ell_{\text{trans}}^*} \quad (1.9)$$

Pour des distances faibles par rapport à ℓ_{trans}^* , on trouve donc un élargissement diffusif

$$\langle \theta^2 \rangle \simeq 2z/\ell_{\text{trans}}^*, \quad (1.10)$$

caractéristique pour une marche au hasard des directions de la lumière sur la sphère des vecteurs unitaires. D'autre part, aux grandes distances $z \gg \ell_{\text{trans}}^*$, l'on a $\langle \cos \theta \rangle = 0$: la distribution angulaire est devenue isotrope.

Remarque. L'analogie entre cette formulation du transfert radiatif et le mouvement d'un ensemble de particules classique a fait naître l'idée de « simuler » la diffusion de la lumière par des techniques Monte Carlo [Feld94]. L'idée est de représenter la luminance comme la somme sur un grand nombre de trajectoires qui ont subi des diffusions dans le milieu. Une telle approche ressemble à la formulation de la mécanique quantique en termes d'une « intégrale de chemins », et l'on peut profiter de cette analogie pour faire un calcul analytique approché de l'intégrale de trajectoires, en retenant, par exemple, seulement la « trajectoire la plus probable » dans la somme. Voir le papier de PERELMAN *et al.* [Feld94] pour davantage de références.

1.5 Conclusions

Dans la limite des faibles angles de diffusion $\langle \theta^2 \rangle \ll 1$, l'équation du transfert radiatif se transforme d'une équation intégro-différentielle en une équation aux dérivées partielles. Elle ressemble à une équation de FOKKER-PLANCK pour une distribution

de probabilité. Une telle description est justifiée lorsque la fonction de phase, en fonction de l'angle de diffusion, a une portée beaucoup plus courte que la luminance en fonction de la direction.

Les directions des rayons effectuent alors un mouvement diffusif sur la sphère des vecteurs unitaires qui est caractérisé par le tenseur de diffusion $D_{\alpha\beta}$. Pour des milieux diffuseurs plus épais que $\sim 1/D$, la distribution angulaire du rayonnement devient isotrope.

Chapitre 2

Transport d'atomes — point de vue classique

Il s'agit maintenant de formuler le problème du mouvement classique d'un ensemble d'atomes dans un milieu aléatoire. Avant d'entreprendre cette étude, nous allons préciser un modèle pour le milieu aléatoire : il s'agit d'un *potentiel aléatoire* tel qu'il apparaît pour le déplacement lumineux dans un champ de tavelures lumineuses. Ensuite, nous proposons une approche classique pour le transport d'atomes : les atomes seront considérés comme des particules ponctuelles qui se déplacent dans le potentiel aléatoire. Au chapitre suivant, nous utiliserons une approche ondulatoire où l'on étudie la propagation des ondes de matière dans le potentiel. Dans les deux cas, nous allons faire le parallèle à la propagation de la lumière.

2.1 Modèle pour un potentiel aléatoire

Nous supposons les atomes placés dans un champ de *speckles* lumineux. Nous allons nous restreindre à un champ lumineux monochromatique dont la fréquence est désaccordée beaucoup par rapport à une fréquence de résonance atomique. Dans cette situation, le champ électrique $\mathbf{E}(\mathbf{r})$ (amplitude vectorielle complexe) donne lieu à un *potentiel lumineux* proportionnel au carré du champ et inversement proportionnel au désaccord en fréquence $\omega_L - \omega_A$. Nous nous limiterons dans un premier temps à un atome avec un seul niveau interne dans l'état fondamental, donc à une transition atomique $J = 0 \rightarrow 1$. Le potentiel lumineux $V(\mathbf{r})$ prend alors la forme

$$V(\mathbf{r}) = \frac{d^2 |\mathbf{E}(\mathbf{r})|^2}{\hbar(\omega_L - \omega_A)},$$

il est donc proportionnel à l'intensité lumineuse. Dans cette expression, d est l'élément de matrice de l'opérateur dipole électrique entre l'état fondamental et l'état excité. Une écriture alternative du potentiel lumineux qui fait directement intervenir l'intensité

lumineuse $I(\mathbf{r}) \equiv |\mathbf{E}(\mathbf{r})|^2$ est

$$V(\mathbf{r}) = \frac{\hbar\Gamma^2}{8(\omega_L - \omega_A)} \frac{I(\mathbf{r})}{I_{sat}} \quad (2.1)$$

où I_{sat} est l'intensité de saturation. On déduit de cette formule que l'ordre de grandeur du potentiel lumineux est (très grossièrement) donné par la largeur en énergie $\hbar\Gamma$ de l'état excité.

Les tavelures lumineuses ont une structure spatiale erratique dont l'échelle spatiale typique est la longueur d'onde lumineuse $\lambda_L = 2\pi/k_L = 2\pi c/\omega_L$. A cause de leur complexité, l'on peut tout au plus raisonner en termes de leurs propriétés moyennes ou statistiques. Nous allons supposer que ces propriétés sont entièrement contenues dans la fonction de corrélation de l'intensité lumineuse :

$$\langle V(\mathbf{r})V(\mathbf{r}') \rangle = B^2 \langle I(\mathbf{r})I(\mathbf{r}') \rangle \equiv \bar{V}^2 [1 + g(|\mathbf{r} - \mathbf{r}'|)] \quad (2.2)$$

où B est le coefficient de proportionnalité entre l'intensité et le potentiel lumineux, \bar{V} est la valeur moyenne du potentiel et $g(r)$ sa fonction de corrélation (sans dimension). Nous supposons que les tavelures sont statistiquement homogènes (les corrélations ne dépendent que de la différence $\mathbf{r} - \mathbf{r}'$ entre deux positions) et isotropes (g ne dépend que du module du vecteur différence). L'échelle de variation caractéristique de la fonction de corrélation est la longueur d'onde lumineuse : à des positions plus distantes que quelques λ_L , la fonction de corrélation décroît rapidement vers zéro

$$r \gg \lambda_L : \quad g(r) \rightarrow 0.$$

Un exemple particulier de fonction de corrélation pour un champ de tavelures est donné par :

$$g(r) = \left(\frac{\sin k_L r}{k_L r} \right)^2$$

qui correspond à un champ lumineux avec une distribution angulaire isotrope dans tout l'angle solide (voir GORI [Gori94] et NUSSENZVEIG [Nussenzveig87a]). Un autre exemple est une fonction de corrélation gaussienne :

$$g(r) = \exp\left(-\frac{\mathbf{r}^2}{2\ell_c^2}\right)$$

qui correspond au champ lumineux rayonné dans le champ lointain par une source incohérente non ponctuelle dont le profil spatial d'intensité est gaussien.

Remarques. (i) Dans ce modèle, le milieu aléatoire est décrit par un *potentiel*, à la différence du mouvement brownien, par exemple, où l'on modélise les chocs que subit une particule immergé dans un fluide par une force aléatoire et dépendante du temps. Dans ce problème apparaît par exemple un amortissement de la vitesse atomique, en conséquence des chocs avec le fluide environnant. Dans notre problème par

contre, l'énergie de l'atome est conservée *a priori*, il peut tout au plus y avoir un transfert d'énergie entre énergies potentielle et cinétique, ou bien entre énergie cinétique « orientée » (correspondant à une distribution de vitesse collimatée) et « diffuse » (correspondant à un mouvement diffus de l'ensemble d'atomes).

(ii) Si nous nous contentons de la fonction de corrélation en deux points pour décrire le potentiel aléatoire, ceci revient à supposer que ce dernier possède une *statistique gaussienne*. C'est une hypothèse commode pour le calcul, mais qui peut s'avérer insuffisante dans certaines situations expérimentales (diffusion par les particules en suspension liquide, par exemple). V. M. FINKEL'BERG discute un potentiel avec une statistique plus générale et donne les formules nécessaires pour calculer les fonctions de corrélation [Finkelberg67].

2.2 Distribution dans l'espace des phases

La quantité de base pour décrire le mouvement d'un ensemble d'atomes classiques est sa *densité de probabilité dans l'espace des phases* $f(\mathbf{r}, \mathbf{v})$ qui donne le nombre d'atomes dN se trouvant autour de la position \mathbf{r} et ayant une vitesse \mathbf{v} :

$$dN = f(\mathbf{r}, \mathbf{v}) d\mathbf{r} d\mathbf{v} \quad (2.3)$$

Nous notons l'analogie à la luminance $\mathcal{I}(\mathbf{r}, \mathbf{s})$ définie à l'équation (1.1). A la différence de cette dernière, la distribution dans l'espace des phases dépend à la fois de la direction et du module de la vitesse atomique. Ceci traduit le fait qu'en général, les atomes peuvent avoir une vitesse (une énergie cinétique) quelconque. En outre, lors du mouvement dans le potentiel aléatoire, l'énergie cinétique des atomes est modifiée. A la différence de la lumière, la diffusion d'atomes n'est donc pas monochromatique : la fréquence de l'onde de DE BROGLIE change. Nous pouvons tout au plus espérer de retrouver une conservation d'énergie cinétique « en moyenne » lorsque le potentiel aléatoire a une valeur moyenne spatialement constante. Cette loi de conservation serait cependant approchée et seulement valable à une échelle spatiale grande par rapport à l'échelle de variation des tavelures (la longueur d'onde lumineuse).

2.3 Dérivation d'une équation de Fokker–Planck

2.3.1 Approche heuristique

Nous partons de l'équation de LIOUVILLE pour la distribution $f(\mathbf{r}, \mathbf{v}; t)$ dans l'espace des phases :

$$\partial_t f(\mathbf{r}, \mathbf{v}; t) + \mathbf{v} \cdot \nabla_{\mathbf{r}} f + \frac{1}{M} \mathbf{F}(\mathbf{r}) \cdot \nabla_{\mathbf{v}} f = 0, \quad (2.4)$$

où $\mathbf{F}(\mathbf{r}) = -\nabla_r V(\mathbf{r})$ est la force qui agit sur l'atome.¹ Un moyen simple d'intégrer l'équation (2.4) est d'utiliser la conservation du nombre d'atomes le long des trajectoires classiques. Les trajectoires dans l'espace des phases $(\mathbf{r}(t), \mathbf{v}(t))$ sont les solutions des équations du mouvement classiques, et la conservation du nombre de particules s'écrit :

$$f(\mathbf{r}(t), \mathbf{v}(t); t) = \text{const.} \quad (2.5)$$

Cette expression permet de calculer la fonction de distribution à des instants ultérieurs si l'on se la donne à un instant initial.

Utilisons maintenant l'équation (2.5) pour deux instants de temps voisins t et $t - \Delta t$:

$$f(\mathbf{r}_0, \mathbf{v}_0; t) = f(\mathbf{r}(t - \Delta t), \mathbf{v}(t - \Delta t); t - \Delta t) \quad (2.6)$$

de sorte qu'entre $t - \Delta t$ et t , les trajectoires classiques sont de la forme (avec $0 \leq \tau \leq \Delta t$)

$$\begin{aligned} \mathbf{r}_0 &\simeq \mathbf{r}(t - \tau) + \tau \mathbf{v}_0 \\ \mathbf{v}_0 &\simeq \mathbf{v}(t - \tau) + \frac{1}{M} \int_0^\tau d\tau' \mathbf{F}[\mathbf{r}(t - \tau')] \end{aligned} \quad (2.7)$$

Nous supposons donc l'intervalle Δt suffisamment court et le potentiel aléatoire suffisamment faible pour que les trajectoires ne soient pas fortement courbées sous l'influence du potentiel aléatoire. En admettant en outre que la fonction de distribution $f(\mathbf{r}, \mathbf{v}; t)$ varie lentement à l'échelle des déplacements (2.7), nous pouvons la développer à l'équation (2.6), pour trouver

$$\begin{aligned} f(\mathbf{r}_0, \mathbf{v}_0; t) - f(\mathbf{r}_0, \mathbf{v}_0; t - \Delta t) = & \\ - \Delta t \mathbf{v}_0 \cdot \nabla_r f(t - \Delta t) - (\mathbf{v}(t - \Delta t) - \mathbf{v}_0) \cdot \nabla_v f(t - \Delta t) + & \\ + \frac{1}{2} \sum_{ij} (\mathbf{v}(t - \Delta t) - \mathbf{v}_0)_i (\mathbf{v}(t - \Delta t) - \mathbf{v}_0)_j \partial_{v_i} \partial_{v_j} f(t - \Delta t). & \end{aligned} \quad (2.8)$$

Nous allons maintenant prendre la valeur moyenne de cette équation par rapport au potentiel aléatoire (qui apparaît dans la vitesse $\mathbf{v}(t - \Delta t)$). Pour factoriser la valeur moyenne de la troisième ligne de (2.8), nous supposons que le long des trajectoires, la force aléatoire et la fonction de distribution forment un processus *markovien* : la fonction de distribution à l'instant $t - \Delta t$ n'est alors pas corrélée avec les valeurs de la force pour $t - \tau > t - \Delta t$. Cette hypothèse semble raisonnable si pendant l'intervalle de temps Δt , l'atome traverse un grand nombre de longueurs de corrélation du potentiel :

$$v \Delta t \gg \lambda_L \quad (2.9)$$

Il s'ensuit que cette approche ne peut ni décrire des atomes très lents, ni rendre compte de leur mouvement à une échelle de temps comparable au temps entre deux « collisions ».

¹En écrivant (2.4), nous négligeons les interactions entre atomes.

Avec l'hypothèse de MARKOV, la moyenne sur les réalisations du milieu aléatoire fait apparaître l'intégrale de la fonction de corrélation de la force dans le dernier terme de l'équation (2.8). Celui-ci devient alors

$$\frac{1}{2M^2} \int_0^{\Delta t} d\tau'_1 d\tau'_2 \sum_{ij} \langle F_i[\mathbf{r}_0 - \tau'_1 \mathbf{v}_0] F_j[\mathbf{r}_0 - \tau'_2 \mathbf{v}_0] \rangle \partial_{v_i} \partial_{v_j} \langle f \rangle \quad (2.10)$$

Par conséquent, le coefficient de diffusion de la vitesse est donné par l'expression

$$D_{ij}(\mathbf{v}) = \lim_{\substack{\lambda_L/v \ll \Delta t \\ \Delta t \ll T}} \frac{1}{2M^2 \Delta t} \int_0^{\Delta t} d\tau'_1 d\tau'_2 G_{ij}[(\tau'_1 - \tau'_2) \mathbf{v}] \quad (2.11)$$

où $T \gg \lambda_L/v$ est l'échelle de temps à laquelle l'on regarde la fonction de distribution moyenne (beaucoup plus grande que le temps entre deux collisions), et où $G_{ij}(\mathbf{r})$ est le tenseur de corrélations de la force aléatoire

$$G_{ij}(\mathbf{r}) \equiv \langle F_i(\mathbf{0}) F_j(\mathbf{r}) \rangle. \quad (2.12)$$

Avant de calculer en détail le coefficient de diffusion de la vitesse $D_{ij}(\mathbf{v})$, donnons l'équation de FOKKER-PLANCK que l'on trouve par cette procédure. Il y apparaît une complication parce que le coefficient de diffusion dépend de la vitesse. Nous suivons l'article de HODAPP *et al.* [Dalibard95] (qui suit le livre de VAN KAMPEN [vanKampen]) pour la forme de l'équation de F.-P. :

$$\partial_t \langle f(\mathbf{r}, \mathbf{v}; t) \rangle + \mathbf{v} \cdot \nabla_r \langle f \rangle = \sum_{ij} \partial_{v_i} \left\{ -\frac{F_i^d(\mathbf{v})}{M} \langle f \rangle + D_{ij}(\mathbf{v}) \partial_{v_j} \langle f \rangle \right\} + \frac{\partial_{v_i} F_i^d(\mathbf{v})}{M} \langle f \rangle \quad (2.13)$$

où la force de dérive $F_i^d(\mathbf{v})$ ainsi que le dernier terme proviennent du ré-arrangement des termes sous les dérivées ∂_{v_i} . La force de dérive est donnée par

$$F_i^d(\mathbf{v}) = M \sum_j \partial_{v_j} D_{ij}(\mathbf{v}). \quad (2.14)$$

Calcul du coefficient de diffusion. Nous donnons d'abord la fonction de corrélation de la force aléatoire (2.12) :

$$G_{ij}(\mathbf{r}) = \bar{V}^2 \left[\frac{1}{r} \frac{dg}{dr} \left(\frac{r_i r_j}{r^2} - \delta_{ij} \right) - \frac{d^2 g}{dr^2} \frac{r_i r_j}{r^2} \right], \quad r \equiv |\mathbf{r}|, \quad (2.15)$$

résultat que l'on déduit de la définition élémentaire de la force comme le gradient du potentiel, et en échangeant l'ordre de la moyenne statistique et du processus limite pour le gradient. Ce calcul suppose que le potentiel aléatoire admet une dérivée, hypothèse qui semble justifiée pour un champ de *speckles*.

Pour calculer le coefficient de diffusion (2.11), passons aux variables d'intégration $(\tau'_1 + \tau'_2)/2$, $\tau'_2 - \tau'_1$. Pour l'intégration sur la différence, nous utilisons l'équation (2.9) :

l'intervalle Δt est beaucoup plus long que le temps de corrélation du tenseur de corrélations $G_{ij}[(\tau'_1 - \tau'_2)\mathbf{v}]$. Par conséquent, celui-ci s'annule aux bornes d'intégration $\pm(\tau'_1 + \tau'_2)/2$ que nous pouvons donc remplacer par $\pm\infty$. L'intégrande ne dépend alors plus de la somme, et l'intégrale est proportionnelle à Δt . Nous trouvons ainsi le résultat :

$$D_{ij}(\mathbf{v}) = \frac{1}{2M^2v} \int_{-\infty}^{+\infty} dr G_{ij}(r\mathbf{v}/v) = \frac{K}{v} \left(\delta_{ij} - \frac{v_i v_j}{v^2} \right) \quad (2.16)$$

$$\text{avec } K = \frac{\bar{V}^2}{M^2} \int_0^\infty \frac{dr}{r} \left(-\frac{dg}{dr} \right) > 0. \quad (2.17)$$

Le deuxième terme dans (2.15) (qui fait intervenir la deuxième dérivée de la fonction de corrélation) ne contribue pas au coefficient de diffusion parce que son intégrale radiale s'annule. Pour les deux fonctions de corrélations proposées ci-dessus, la constante K prend les valeurs suivantes :

$$\text{lumière isotrope : } K = \frac{\pi k_L \bar{V}^2}{3 M^2}, \quad (2.18)$$

$$\text{speckles gaussiens : } K = \sqrt{\frac{\pi}{2}} \frac{1}{\ell_c} \frac{\bar{V}^2}{M^2}. \quad (2.19)$$

Force de friction. Du tenseur de diffusion (2.16) nous déduisons que la force de dérive $\mathbf{F}^d(\mathbf{v})$ dans l'équation de F.-P. (2.13) est en fait une « force de friction » avec

$$\mathbf{F}^d(\mathbf{v}) = -2MK \frac{\mathbf{v}}{v^3}, \quad \nabla_v \cdot \mathbf{F}^d \equiv 8\pi MK \delta(\mathbf{v}) \quad (2.20)$$

Puisque notre approche n'est pas valable pour des atomes à vitesse nulle [voir la condition (2.9)], nous allons négliger le terme proportionnel à $\nabla_v \cdot \mathbf{F}^d \propto \delta(\mathbf{v})\langle f \rangle$ dans l'équation de F.-P. (2.13).

2.3.2 Discussion physique

Amortissement de la vitesse moyenne. On déduit facilement de l'équation de FOKKER-PLANCK (2.13) l'équation d'évolution pour la vitesse moyenne (après deux intégrations par parties et en négligeant les termes de bord) :

$$\begin{aligned} \frac{d\langle v_k \rangle}{dt} &= \frac{d}{dt} \int d\mathbf{r} d\mathbf{v} v_k \langle f(\mathbf{r}, \mathbf{v}; t) \rangle \\ &= \int d\mathbf{r} d\mathbf{v} \left[\frac{F_k^d(\mathbf{v})}{M} + \sum_j \partial_{v_j} D_{jk}(\mathbf{v}) \right] \langle f(\mathbf{r}, \mathbf{v}; t) \rangle \quad (2.21) \end{aligned}$$

$$= -4K \int d\mathbf{r} d\mathbf{v} \frac{v_k}{v^3} \langle f(\mathbf{r}, \mathbf{v}; t) \rangle \quad (2.22)$$

La valeur moyenne de la vitesse diminue donc sous l'effet de la force de friction et de la diffusion. Ceci se produit à une échelle de temps caractéristique $T \sim v^3/K$, qui dépend du module de la vitesse initiale. Pour que notre théorie soit valable, il faut que ce temps soit beaucoup plus grand que l'intervalle entre deux collisions. Cette condition se traduit par l'inégalité :

$$\frac{T}{\lambda_L/v} \sim \left(\frac{Mv^2}{\bar{V}} \right)^2 \gg 1 \quad (2.23)$$

Il faut donc que le potentiel aléatoire soit en moyenne beaucoup plus faible que l'énergie cinétique des atomes. Dans ce régime, l'amortissement de la vitesse est lente à l'échelle des collisions avec les *speckles*.

Elargissement diffusif des composantes de vitesse transverses. Nous nous attendons à ce que l'amortissement de la vitesse moyenne s'accompagne d'une « isotropisation » de la distribution angulaire de la vitesse parce qu'il semble peu probable que la distribution puisse être « refroidie » par le potentiel aléatoire.

Nous rappelons que le coefficient de diffusion dans l'équation de F.-P. donne la valeur quadratique moyenne du changement de la vitesse :

$$\langle \Delta v_i(t) \Delta v_j(t) \rangle \simeq 2D_{ij}[\mathbf{v}(0)]t. \quad (2.24)$$

En utilisant le tenseur de diffusion (2.16), nous constatons que les composantes parallèles à la vitesse initiale $\mathbf{v}(0)$ ne subissent aucune diffusion² $\langle \Delta v_{\parallel}^2(t) \rangle = 0$. Par contre, les composantes perpendiculaires à $\mathbf{v}(0)$ s'élargissent de façon diffusive

$$\langle \mathbf{v}_{\perp}^2(t) \rangle \simeq \frac{4K}{v(0)}t. \quad (2.25)$$

La distribution des vitesses devient isotrope lorsque les composantes transverses sont du même ordre de grandeur que la vitesse initiale. Nous trouvons que ce processus a lieu sur la même échelle de temps $T \sim K/v^3(0)$ que l'amortissement de la valeur moyenne de la vitesse.

Variation de l'énergie cinétique moyenne. Calculons maintenant une équation d'évolution pour la valeur moyenne de l'énergie cinétique des atomes. L'équation de F.-P. (2.13) donne, après un calcul similaire à celui de l'éq.(2.21),

$$\begin{aligned} \frac{d}{dt} \left\langle \frac{M}{2} \mathbf{v}^2 \right\rangle &= \\ &= \int d\mathbf{r} d\mathbf{v} \left[\mathbf{v} \cdot \mathbf{F}^d(\mathbf{v}) + M \sum_{ij} \partial_{v_i} (D_{ij}(\mathbf{v})v_j) \right] \langle f(\mathbf{r}, \mathbf{v}; t) \rangle \end{aligned} \quad (2.26)$$

$$= -2KM \int d\mathbf{r} d\mathbf{v} \frac{1}{v} \langle f(\mathbf{r}, \mathbf{v}; t) \rangle. \quad (2.27)$$

²Précisons que Δv_{\parallel} dénote la partie fluctuante de la vitesse. C'est la vitesse moyenne qui est amortie par la force de friction $\mathbf{F}^d(\mathbf{v})$.

L'énergie cinétique moyenne diminue donc sous l'influence de la force de friction [le premier terme en crochets de (2.26)]. Ceci apparaît également dans l'équation du mouvement pour la vitesse sous l'influence de la friction :

$$\frac{d}{dt}\mathbf{v} = \mathbf{F}^d(\mathbf{v}) = -2K \frac{\mathbf{v}}{v^3} \quad (2.28)$$

$$\implies \mathbf{v}(t) = \frac{\mathbf{v}(0)}{v(0)} [v^3(0) - 6Kt]^{1/3}, \quad (0 < t < v^3(0)/6K) \quad (2.29)$$

Toutes les vitesses sont donc amorties radialement et deviennent nulles en un *temps fini* $T_{v(0)} = v^3(0)/6K$ de l'ordre de l'échelle de temps caractéristique T trouvée ci-dessus.

Cependant, nous trouvons ici des résultats en contradiction avec l'intuition que le potentiel aléatoire conserve en moyenne l'énergie cinétique. Cette contradiction nous amène à la remarque suivante :

Démonstration « malhonnête ». D'après KELLER (cité dans [Frisch66]), une telle démonstration de l'équation de F.-P. pour la fonction de distribution moyenne est « malhonnête ». Nous faisons en effet des hypothèses sur la nature markovienne de la force aléatoire qui ne sont justifiées que dans un certain régime de paramètres ou à certaines échelles de vitesse et de position (grande devant la longueur de corrélation). Nous verrons au prochain paragraphe que l'on peut trouver l'équation de F.-P. par une procédure différente et mieux justifiée d'après FRISCH. Elle aura en outre la vertu de donner une équation de F.-P. « physiquement acceptable » qui conserve l'énergie cinétique moyenne.

2.4 Démonstrations plus rigoureuses

2.4.1 Méthode pédestre

La façon la plus simple d'éviter la contradiction du refroidissement dans un potentiel aléatoire consiste à renverser une partie de l'argumentation précédente pour déduire l'équation de FOKKER-PLANCK. (C'est ainsi que FRISCH la trouve habituellement.) Définissons d'abord les valeurs moyennes

$$F_i^d(\mathbf{v}) := M \lim_{\Delta t \rightarrow 0} \left. \frac{\langle v_i(t + \Delta t) - v_i(t) \rangle}{\Delta t} \right|_{\mathbf{v}(t) = \mathbf{v}} \quad (2.30)$$

$$D_{ij}(\mathbf{v}) := \lim_{\Delta t \rightarrow 0} \left. \frac{\langle \Delta v_i(t + \Delta t) \Delta v_j(t + \Delta t) \rangle}{2\Delta t} \right|_{\mathbf{v}(t) = \mathbf{v}} \quad (2.31)$$

L'équation de F.-P. est alors donnée par

$$\partial_t \langle f(\mathbf{r}, \mathbf{v}; t) \rangle + \mathbf{v} \cdot \nabla_r \langle f \rangle = \sum_{ij} \partial_{v_i} \left\{ -\frac{F_i^d(\mathbf{v})}{M} \langle f \rangle + D_{ij}(\mathbf{v}) \partial_{v_j} \langle f \rangle \right\}, \quad (2.32)$$

où la force de dérive $\mathbf{F}^d(\mathbf{v})$ et le tenseur de diffusion $D_{ij}(\mathbf{v})$ sont donnés par (2.30) et (2.31).

Pour calculer la dérive et le tenseur de diffusion dans un potentiel aléatoire faible, nous pouvons intégrer le gradient du potentiel le long d'une trajectoire droite, comme à l'équation (2.7). De cette façon, l'on trouve que

- la force de dérive $F_i^d(\mathbf{v})$ s'annule (en moyenne, le potentiel aléatoire ne donne pas de transfert de vitesse), et
- un résultat identique à (2.16) pour le tenseur de diffusion.

Il reste cependant vrai que la valeur moyenne de la vitesse est amortie : l'équation (2.21) est encore correcte et la seule différence par rapport au résultat (2.22) est un facteur numérique qui change (remplacer $4K$ par $2K$). Et finalement, pour l'énergie cinétique moyenne, l'équation (2.26) reste vraie (elle ne dépend que de la forme de l'équation de F.–P.) et donne un résultat nul parce que le tenseur de diffusion est « orthogonal » à la vitesse, $\sum_j D_{ij}(\mathbf{v})v_j = 0$. Nous obtenons donc le résultat attendu que *l'énergie cinétique moyenne n'est pas modifiée par le potentiel aléatoire*. Ce qui se produit c'est bien une redistribution de la vitesse d'une composante collimatée vers une composante diffuse.

2.4.2 Développement multi-échelles de RYZHIK, PAPANICOLAOU et KELLER

Idée du développement. Nous allons présenter ici une méthode alternative pour établir l'équation de FOKKER–PLANCK. Elle met en relief le fait que le potentiel aléatoire $V(\mathbf{r})$ d'une part, et la fonction de distribution moyenne $\langle f(\mathbf{r}, \mathbf{v}; t) \rangle$ d'autre part, varient sur des échelles spatiales très différentes. Il s'agit alors d'éliminer les quantités avec des variations spatiales « rapides » et de formuler une équation fermée pour les quantités moyennes avec une variation spatiale « lente ». RYZHIK, PAPANICOLAOU et KELLER [Keller96] introduisent à cet effet le rapport entre les échelles caractéristiques « rapides » et « lentes », ce qui revient pour notre situation à introduire le paramètre

$$\epsilon = \frac{\lambda_L}{L} \tag{2.33}$$

Ils considèrent ensuite un potentiel aléatoire faible proportionnel à $\sqrt{\epsilon}$. Le calcul consiste à effectuer un développement asymptotique pour $\epsilon \ll 1$.

Cette méthode semble d'abord se limiter à une situation où existe une relation entre la force du potentiel, d'une part, et la portée des corrélations, d'autre part. Cependant, l'on peut aussi la voir sous un autre point de vue et choisir indépendamment la force du potentiel et la longueur de corrélation λ_L : *l'approche de RYZHIK fixe alors l'échelle L à laquelle on regarde la fonction de distribution moyenne*. La discussion précédente confirme que ce point de vue est adapté à notre problème : plus précisément, nous pouvons estimer que l'échelle spatiale caractéristique L de la fonction de distribution moyenne est égale à la distance parcourue nécessaire pour que la diffusion ait rendu

isotrope la distribution angulaire de la vitesse :

$$L \sim vT \sim \frac{v^4}{K} \sim \lambda_L \left(\frac{Mv^2}{\bar{V}} \right)^2 \quad (2.34)$$

Cet argument permet d'établir le lien suivant entre les petits paramètres de notre problème :

$$\epsilon = \left(\frac{\bar{V}}{Mv^2} \right)^2, \quad (2.35)$$

et la condition $\epsilon \ll 1$ est bien celle d'un potentiel aléatoire faible que nous avons rencontrée et utilisée ci-dessus. Lorsque RYZHIK *et al.* parlent d'un « potentiel aléatoire proportionnel à $\sqrt{\epsilon}$ », ce nombre donne donc l'ordre de grandeur de $V(\mathbf{r})$ en unités de l'énergie cinétique des atomes (la seule échelle d'énergie dans le problème).

Notons que le développement multi-échelles est à manipuler avec une certaine précaution : il faut identifier d'avance les échelles caractéristiques spatiales ainsi que les énergies typiques du problème et regrouper ces paramètres dans une seule petite quantité ϵ .

Développement. En fonction du petit paramètre ϵ , la force aléatoire est proportionnelle à

$$|\mathbf{F}| \sim \frac{\bar{V}}{\lambda_L} \propto \frac{\sqrt{\epsilon}}{\epsilon} = \frac{1}{\sqrt{\epsilon}} \quad (2.36)$$

Par conséquent, RYZHIK *et al.* écriraient l'équation de LIOUVILLE (2.4) sous la forme

$$\partial_t f(\mathbf{r}, \mathbf{v}; t) + \mathbf{v} \cdot \nabla_r f + \frac{1}{M\sqrt{\epsilon}} \tilde{\mathbf{F}} \cdot \nabla_v f = 0, \quad (2.37)$$

où $\tilde{\mathbf{F}}$ est une quantité « de l'ordre unité ». La fonction de distribution est alors développée en une série de puissances

$$f(\mathbf{r}, \mathbf{v}; t) = f^{(0)}(\mathbf{r}, \mathbf{v}; t) + \sqrt{\epsilon} f^{(1)}(\mathbf{r}, \boldsymbol{\rho}, \mathbf{v}; t) + \epsilon f^{(2)}(\mathbf{r}, \boldsymbol{\rho}, \mathbf{v}; t) + \dots \quad (2.38)$$

où $\mathbf{r}, \boldsymbol{\rho}$ dénotent les variables spatiales « lentes » et « rapides ». On fait l'hypothèse que le premier terme $f^{(0)}$ est indépendant de la variable « rapide » $\boldsymbol{\rho}$ et que c'est le seul à donner un résultat non nul après moyenne statistique sur le potentiel. Les termes suivants $f^{(1,2)}$ dépendent à la fois de la variable rapide $\boldsymbol{\rho}$ et de la variable « lente » \mathbf{r} .

La différence en échelle entre ces deux variables se traduit par l'écriture suivante de l'opérateur gradient spatial dans (2.37)

$$\nabla_r \mapsto \nabla_r + \frac{1}{\epsilon} \nabla_\rho \quad (2.39)$$

Nous pouvons maintenant insérer le développement de la fonction de distribution (2.38) dans l'équation de LIOUVILLE (2.37) et séparer les différents ordres en ϵ . Les deux ordres les plus bas donnent alors :

$$\text{ordre } \mathcal{O}(1/\sqrt{\epsilon}) : \quad 0 = \mathbf{v} \cdot \nabla_{\rho} f^{(1)} + \tilde{\mathbf{F}} \cdot \nabla_{\mathbf{v}} f^{(0)} \quad (2.40)$$

$$\text{ordre } \mathcal{O}(1) : \quad 0 = (\partial_t + \mathbf{v} \cdot \nabla_r) f^{(0)} + \mathbf{v} \cdot \nabla_{\rho} f^{(2)} + \tilde{\mathbf{F}} \cdot \nabla_{\mathbf{v}} f^{(1)} \quad (2.41)$$

La première équation permet d'exprimer la « partie fluctuante » $f^{(1)}$ de la distribution en fonction de la force aléatoire et de la distribution « lente » $f^{(0)}$. La deuxième équation permet de trouver une équation fermée pour la distribution moyenne $\langle f \rangle = \langle f^{(0)} \rangle$ en insérant la solution de la première équation *dans la valeur moyenne de la deuxième équation* : le terme $f^{(2)}$ en disparaît en effet après la moyenne.

L'équation (2.40) peut se résoudre par une transformation de FOURIER, et l'on trouve

$$\tilde{f}^{(1)}(\mathbf{r}, \boldsymbol{\kappa}, \mathbf{v}; t) = -\frac{1}{i\mathbf{v} \cdot \boldsymbol{\kappa} + \eta} \int d\boldsymbol{\rho} \exp(-i\boldsymbol{\kappa} \cdot \boldsymbol{\rho}) \tilde{\mathbf{F}}(\boldsymbol{\rho}) \cdot \nabla_{\mathbf{v}} f^{(0)}(\mathbf{r}, \mathbf{v}; t), \quad (2.42)$$

où $\eta \rightarrow 0^+$ est un paramètre de régularisation. Nous insérons ce résultat en (2.41) et trouvons après la moyenne une équation de FOKKER-PLANCK

$$(\partial_t + \mathbf{v} \cdot \nabla_r) \langle f \rangle = \sum_{ij} \partial_{v_i} D_{ij}(\mathbf{v}) \partial_{v_j} \langle f \rangle, \quad (2.43)$$

où le tenseur de diffusion est donné par

$$D_{ij}(\mathbf{v}) = \frac{1}{M^2} \int d\boldsymbol{\rho}' \langle F_i(\boldsymbol{\rho}) F_j(\boldsymbol{\rho}') \rangle \int \frac{d\boldsymbol{\kappa}}{(2\pi)^3} \frac{\exp i\boldsymbol{\kappa} \cdot (\boldsymbol{\rho} - \boldsymbol{\rho}')}{i\mathbf{v} \cdot \boldsymbol{\kappa} + \eta} \quad (2.44)$$

Comme le potentiel aléatoire est statistiquement homogène, le tenseur de diffusion (2.44) ne dépend pas de $\boldsymbol{\rho}$. En outre, l'intégrale sur $\boldsymbol{\kappa}$ peut se calculer³ et l'on trouve [en utilisant (2.12)]

$$D_{ij}(\mathbf{v}) = \frac{1}{M^2 v} \int_{-\infty}^0 dr G_{ij}(r\mathbf{v}/v) \quad (2.45)$$

L'on trouve alors un résultat identique à (2.16) si la fonction de corrélation $G_{ij}(\mathbf{r})$ ne dépend pas du signe de \mathbf{r} (c'est l'invariance par parité). En plus, le tenseur de diffusion se trouve « à la bonne position » dans l'équation de F.-P. (2.43) (entre les dérivées ∂_{v_i}) de sorte que celle-ci est compatible avec la conservation en moyenne de l'énergie.

³Le résultat est

$$\int \frac{d\boldsymbol{\kappa}}{(2\pi)^3} \frac{\exp(-i\boldsymbol{\kappa} \cdot \mathbf{r})}{i\mathbf{v} \cdot \boldsymbol{\kappa} + \eta} = \begin{cases} \delta(\mathbf{R}_{\perp})/v & \text{si } \mathbf{r} \cdot \mathbf{v} < 0, \\ 0 & \text{sinon.} \end{cases}$$

où \mathbf{R}_{\perp} dénote les composantes de \mathbf{r} perpendiculaires au vecteur \mathbf{v} .

Remarque. Nous constatons que le développement multi-échelles conduit de façon générique à une équation de F.-P. à partir de l'équation de LIOUVILLE. Ce type de description du transport d'atomes dans un potentiel aléatoire apparaît donc comme l'outil standard dans le point de vue classique.

2.4.3 Raisonement formel de FRISCH

Idée. Cette approche procède par analogie avec les équations de propagation des ondes en milieu aléatoire, en les formulant d'une façon assez générale. L'on identifie des « opérateurs de LIOUVILLE » \mathcal{L}_0 et \mathcal{L}_1 dont le deuxième contient la partie aléatoire de l'équation de propagation :

$$\partial_t A(t) = \mathcal{L}_0 A(t) + \mathcal{L}_1(t) A(t), \quad (2.46)$$

où $A(t)$ désigne un « champ » quelconque. Dans l'équation de LIOUVILLE proprement dite (2.4), nous avons les correspondances suivantes

$$\begin{aligned} A(t) &\longleftrightarrow f(\mathbf{r}, \mathbf{v}; t) \\ \mathcal{L}_0 &\longleftrightarrow -\mathbf{v} \cdot \nabla_r \\ \mathcal{L}_1(t) &\longleftrightarrow -\frac{1}{M} \mathbf{F} \cdot \nabla_v \end{aligned} \quad (2.47)$$

Pour l'équation de propagation des ondes de SCHRÖDINGER, l'on aurait par exemple

$$\begin{aligned} A(t) &\longleftrightarrow \psi(\mathbf{r}; t) \\ \mathcal{L}_0 &\longleftrightarrow \frac{i\hbar}{2M} \nabla_r^2 \\ \mathcal{L}_1(t) &\longleftrightarrow -\frac{i}{\hbar} V(\mathbf{r}) \end{aligned} \quad (2.48)$$

FRISCH montre alors que l'on peut écrire des équations séparées pour la valeur moyenne $\langle A(t) \rangle$ et la partie fluctuante $\delta A(t) = A(t) - \langle A(t) \rangle$ du champ :

$$\begin{aligned} \partial_t \langle A(t) \rangle &= \mathcal{L}_0 \langle A(t) \rangle + \langle \mathcal{L}_1(t) \delta A(t) \rangle \\ \partial_t \delta A(t) &= \mathcal{L}_0 \delta A(t) + \delta \{ \mathcal{L}_1(t) [\langle A(t) \rangle + \delta A(t)] \}, \end{aligned} \quad (2.49)$$

La deuxième équation peut être résolue par un développement itératif, au moins de façon formelle. Sa solution exprime donc la partie fluctuante du champ en fonction du champ moyen et du Liouvillien aléatoire. En la reportant dans la première équation, l'on trouve une équation pour le champ moyen. Dans le cas de la propagation des ondes, l'équation résultante est l'équation de DYSON pour le champ moyen $\langle \psi \rangle$.

Approximation pour le champ fluctuant. Il est cependant difficile de résoudre explicitement pour la partie fluctuante du champ. Ce que FRISCH appelle

l'approximation de régularisation au premier ordre revient alors à ne retenir que le premier terme de l'itération.⁴ L'on a alors la solution

$$\delta A(t) \simeq \int_{t_0}^t dt' \exp[\mathcal{L}_0(t-t')] \{\mathcal{L}_1(t') \langle A(t') \rangle\}. \quad (2.50)$$

Dans l'approche de RYZHIK *et al.*, une telle approximation arrive naturellement parce que la partie fluctuante est calculée par un développement perturbatif : à l'ordre le plus bas, c'est le Liouvillien fluctuant et le champ moyen (d'ordre zéro) qui déterminent les fluctuations du champ (voir l'équation (2.40)).

Avec cette approximation, l'équation d'évolution pour le champ moyen devient

$$\partial_t \langle A(t) \rangle = \mathcal{L}_0 \langle A(t) \rangle + \int_{t_0}^t dt' \langle \mathcal{L}_1(t) \exp[\mathcal{L}_0(t-t')] \mathcal{L}_1(t') \rangle \langle A(t') \rangle. \quad (2.51)$$

où nous voyons apparaître sous l'intégrale la fonction de corrélation du Liouvillien fluctuant, prise pour les instants t et t' . Entre ces instants, l'exponentielle $\exp[\mathcal{L}_0(t-t')]$ décrit le mouvement « libre » du système sous la seule influence du Liouvillien régulier.

Application à notre problème. En utilisant les correspondances (2.47), le deuxième terme à l'équation (2.51) pour le champ moyen s'écrit

$$\sum_{ij} \partial_{v_i} \int_{t_0}^t dt' \langle F_i(\mathbf{r}) F_j(\mathbf{r} + (t' - t)\mathbf{v}) \rangle \partial_{v_j} \langle f(\mathbf{r} + (t' - t)\mathbf{v}, \mathbf{v}; t') \rangle. \quad (2.52)$$

où $\mathbf{r} + (t' - t)\mathbf{v}$ décrit le « vol libre » aux instants t' antérieurs à t . Nous constatons que l'équation pour la fonction de distribution moyenne *n'est pas équivalente* à l'équation de F.-P. (2.43) parce qu'elle fait intervenir une intégrale sur $\langle f \rangle$ à des instants antérieurs. C'est seulement lorsque nous invoquons une *hypothèse supplémentaire* que nous retrouvons la théorie précédente : cette l'hypothèse étant que la portée de la fonction de corrélation de la force aléatoire (en fonction de $(t' - t)\mathbf{v}$) est beaucoup plus courte que l'échelle spatiale caractéristique pour la fonction de distribution moyenne. Dans cette situation (que nous pourrions appeler « markovienne ») l'on peut sortir la fonction de distribution moyenne de l'intégrale sur t' . En remplaçant ensuite la borne inférieure t_0 de l'intégrale par $-\infty$, l'on trouve l'équation de FOKKER-PLANCK (2.43).

Notons que l'approche de FRISCH donne elle aussi un tenseur de diffusion à la bonne position (entre les dérivées ∂_{v_i}).

⁴Notons que dans le contexte de la propagation des ondes, cette approximation est celle de BOURRET ou encore la *ladder approximation* pour l'opérateur de masse. Dans d'autres contextes, on l'appellerait « théorie effective à basse énergie ou à grande échelle » (physique des particules) ou encore « élimination adiabatique des variables rapides » (atome piloté par un champ à grand désaccord : réduction des équations de BLOCH optiques à la population de l'état fondamental...)

2.5 Conclusions

Dans le point de vue classique, le transport d'atomes dans un potentiel aléatoire faible est décrit de façon naturelle par une équation de FOKKER–PLANCK, et non pas par une équation de transfert radiatif. L'équation de F.–P. fait seulement intervenir la fonction de distribution au même instant (elle est locale dans le temps) lorsque les fluctuations du potentiel aléatoire ont une échelle spatiale beaucoup plus courte que la fonction de distribution moyenne. Le transport est alors décrit par une équation linéaire aux dérivées partielles. Son tenseur de diffusion est relié au tenseur de corrélation de la force aléatoire, il dépend de la vitesse des atomes. L'équation de F.–P. permet de montrer que dans le potentiel aléatoire, la valeur moyenne de la vitesse décroît parce que la distribution angulaire des vitesses devient isotrope. Le temps caractéristique pour ce processus diffusif est plus long que le temps nécessaire pour traverser une longueur de corrélation du potentiel aléatoire. A cette échelle de temps, la distribution angulaire d'un faisceau d'atomes initialement bien collimaté, s'élargit pour devenir isotrope, tout en conservant son énergie cinétique moyenne.

Nous avons constaté que le tenseur de diffusion dépend de la vitesse. Il faut alors faire attention à sa position dans l'équation de F.–P. Il y a plusieurs méthodes pour trouver la « bonne équation » : un retour à la signification statistique de l'équation de FOKKER–PLANCK est déjà fructueux (notre « méthode pédestre ») ; des approches plus formelles sont soit le développement à plusieurs échelles (méthode de RYZHIK, PAPANICOLAOU et KELLER), soit l'analogie à l'approximation de BOURRET de la théorie de propagation des ondes en milieu aléatoire (méthode de FRISCH).

Finalement, une remarque sur les approches du type F.–P. et transfert radiatif : nous pouvons attribuer leur différence aux descriptions classique ou ondulatoire du mouvement. En effet, la théorie classique part de l'équation de LIOUVILLE où interviennent des dérivées de la fonction de distribution dans l'espace des phases. L'équation de F.–P. hérite alors de cette même structure. Dans l'approche ondulatoire, la diffusion par le potentiel aléatoire est décrite par des intégrales de diffusion (voir l'équation du transfert radiatif (1.2)) parce que pour la diffusion d'une onde, tout potentiel, aussi faible soit-il, peut donner lieu à des grands angles de diffusion avec une probabilité non nulle (bien que faible). Dans une approche classique, par contre, la vitesse change toujours de façon continue, et ce changement tend vers zéro lorsque le potentiel est faible. Les deux descriptions se rejoignent si la longueur d'onde est beaucoup plus petite que la taille des inhomogénéités du potentiel : la diffusion est alors piquée vers l'avant, et l'on peut passer du transfert radiatif à l'équation de F.–P. (voir au chapitre 1).

2.6 Exemples de transport classique

Pour finir ce chapitre sur le transport classique d'atomes, nous donnons quelques exemples où l'on peut trouver des solutions explicites à l'équation de FOKKER–PLANCK. Il s'agit d'une part de l'élargissement angulaire de la distribution des vitesses

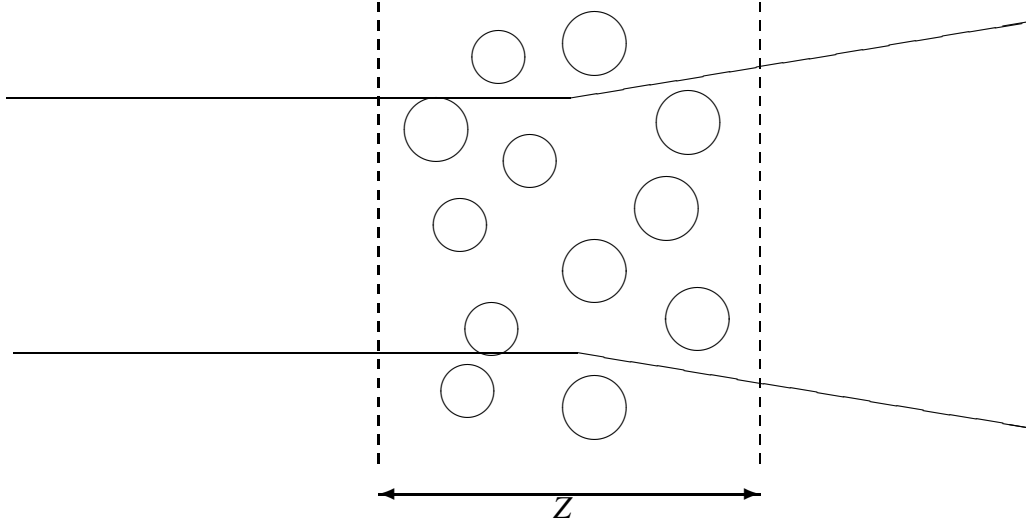


FIG. 2.1 – Transport d’un faisceau d’atomes à travers une tranche de tavelures. Illustration de la géométrie.

et d’autre part de la diffusion spatiale.

Notre point de départ est l’équation de F.–P suivante

$$(\partial_t + \mathbf{v} \cdot \nabla_r) f(\mathbf{r}, \mathbf{v}; t) = \frac{K}{v^3} \Delta_v^{(T)} f \quad (2.53)$$

où la fonction de distribution moyennée dans l’espace des phases est notée f , pour simplifier, et où $\Delta_v^{(T)}$ est l’opérateur différentiel Laplacien transverse. En fonction des angles θ, ϕ du vecteur \mathbf{v} , il est donné par l’expression en crochets de l’équation (1.6). La constante K dans (2.53) est proportionnelle à \bar{V}^2 , elle est donnée par (2.17).

2.6.1 Diffusion des vitesses

Etudions d’abord l’évolution d’un jet d’atomes collimaté qui traverse un champ de tavelures. Dans un premier temps, supposons que les tavelures occupent une tranche d’épaisseur Z et que le jet a un profil spatial uniforme (voir la figure 2.1). En nous plaçant dans le régime stationnaire, la fonction de distribution ne dépend que de la distance z et de la vitesse \mathbf{v} . Nous notons également que dans l’équation de FOKKER–PLANCK (2.53), le module de la vitesse v intervient seulement comme paramètre. Nous pouvons donc raisonner pour une classe de vitesses donnée. A l’entrée du champ de *speckles*, la fonction de distribution est de la forme

$$f(z = 0; \mathbf{v}) = f_i(v) \delta(\theta) = \frac{f_i(v)}{4\pi} \sum_{n=0}^{\infty} (2n + 1) P_n(\cos \theta) \quad (2.54)$$

où $P_n(\cos \theta)$ sont les polynômes de LEGENDRE qui permettent de représenter la fonction δ angulaire (voir aussi (1.7)); θ dénote l’angle par rapport à la direction initiale du

faisceau). En introduisant les coefficients $f_n(z)$ pour le développement en harmoniques sphériques de la fonction de distribution, nous trouvons l'équation suivante :

$$\sum_n \cos \theta \frac{df_n}{dz} (2n+1) P_n(\cos \theta) = -\frac{K}{v^4} \sum_n n(n+1) f_n(z) (2n+1) P_n(\cos \theta) \quad (2.55)$$

Lorsque l'on projette cette équation sur un polynôme de LEGENDRE $P_m(\cos \theta)$, le $\cos \theta$ au membre gauche introduit un couplage entre les polynômes voisins $P_{m\pm 1}(\cos \theta)$. L'on trouve alors un système linéaire infini d'équations différentielles ordinaires que l'on peut résoudre, par exemple, avec des techniques de diagonalisation de matrices. Nous allons nous contenter d'une discussion qualitative du régime où le champ de *speckles* a une épaisseur faible. Plus précisément, nous supposons que la distribution angulaire reste assez bien collimatée de sorte que nous pouvons remplacer le $\cos \theta$ dans (2.55) par l'unité. Dans cette approximation, les différentes harmoniques sphériques se découpent, et l'on retrouve la solution (1.7) donnée par FRISCH

$$f_n(Z) = e^{-Kn(n+1)Z/v^4} f_i(v) \quad (2.56)$$

Comme nous l'avons vu pour le transfert radiatif piqué vers l'avant (chap. 1), les harmoniques élevés (les structures angulaires $\Delta\theta$ fines) disparaissent sur une épaisseur caractéristique donnée par

$$\frac{1}{\Delta\theta^2} \frac{KZ}{v^4} \sim 1 \implies \Delta\theta \sim \left(\frac{KZ}{v^4} \right)^{1/2} \quad (2.57)$$

La solution (2.56) est valable tant que cette largeur angulaire reste faible. L'équation (2.57) permet de traduire ce critère par une épaisseur maximale du milieu aléatoire : celle-ci est évidemment beaucoup plus grande que la longueur de corrélation (la longueur d'onde optique).

Nous passons maintenant à un deuxième exemple où le potentiel lumineux est « branché » pendant un temps T fini. Prenons encore un jet d'atomes collimaté à l'instant $t = 0$ et spatialement uniforme. Nous supposons également que le potentiel lumineux (lorsqu'il est branché) remplit tout l'espace. La fonction de distribution ne dépend alors que de t et v . Nous introduisons les coefficients $f_n(t)$ d'un développement en polynômes de LEGENDRE, et (2.55) devient

$$\sum_n \frac{df_n}{dt} (2n+1) P_n(\cos \theta) = -\frac{K}{v^3} \sum_n n(n+1) f_n(z) (2n+1) P_n(\cos \theta) \quad (2.58)$$

Dans cette équation, les harmoniques sphériques se découpent exactement, et nous trouvons une solution formellement identique à (2.56) :

$$f_n(T) = e^{-Kn(n+1)T/v^3} f_i(v) \quad (2.59)$$

De nouveau, nous identifions un temps d'interaction caractéristique $T_{\text{iso}} \sim v^3/K$ au bout duquel la distribution angulaire devient isotrope. Si l'on sait résoudre des détails

angulaires $\Delta\theta$ plus fins, l'effet du potentiel aléatoire se fait voir déjà à des temps plus courts, de l'ordre de $\Delta\theta^2 \times T_{\text{iso}}$.

Notons finalement que le temps caractéristique T_{iso} dépend à la fois de la vitesse des atomes et du potentiel aléatoire (qui apparaît dans la constante K). L'on peut donc faire varier ces deux paramètres pour explorer une large gamme de temps d'interaction « effectifs », même si pour des raisons expérimentales (effet de la gravité, taille de la chambre à vide), le temps réel est limité.

2.6.2 Diffusion spatiale

En dernière application du transport d'atomes, nous allons étudier le régime des temps très longs, où la distribution des vitesses est déjà devenue isotrope. Les atomes continuent cependant d'évoluer à cause d'un gradient spatial dans la densité atomique. Dans ce régime, la distribution spatiale $F(\mathbf{r}; t)$ des atomes vérifie une équation de la diffusion que nous allons déterminer maintenant.

A cet effet, nous écrivons la distribution dans l'espace des phases comme la somme d'une partie isotrope $F(\mathbf{r}; t)$ et d'un terme « dipolaire » $\mathbf{v} \cdot \mathbf{j}(\mathbf{r}; t)$

$$f(\mathbf{r}, \mathbf{v}; t) = F(\mathbf{r}; t) + \mathbf{v} \cdot \mathbf{j}(\mathbf{r}; t) \quad (2.60)$$

(Cette approximation est appelée « P_1 » parce qu'elle se contente de $P_{0,1}(\cos\theta)$ dans le développement en harmoniques sphériques.) En projetant l'équation de FOKKER-PLANCK sur les harmoniques sphériques d'ordre $n = 0, 1$, l'on trouve

$$\partial_t F(\mathbf{r}; t) + \int \frac{d\Omega_v}{4\pi} \nabla_r \cdot \mathbf{v} [\mathbf{v} \cdot \mathbf{j}(\mathbf{r}; t)] = 0 \quad (2.61)$$

$$\partial_t \mathbf{j}(\mathbf{r}; t) + \nabla_r F(\mathbf{r}; t) = \frac{2K}{v^3} \mathbf{j}(\mathbf{r}; t) \quad (2.62)$$

En nous plaçant à des temps longs par rapport au temps caractéristique d'évolution T_{iso} de la distribution angulaire, nous pouvons nous contenter de la solution stationnaire de l'équation (2.62) : elle relie le « flux diffusif » $\mathbf{j}(\mathbf{r}; t)$ au gradient de la densité spatiale (loi de FICK)

$$\mathbf{j}(\mathbf{r}; t) = -\frac{v^3}{2K} \nabla_r F(\mathbf{r}; t) \quad (2.63)$$

En reportant ce résultat à l'équation (2.62) et en calculant l'intégrale angulaire, nous trouvons alors une équation de diffusion spatiale

$$\partial_t F(\mathbf{r}; t) - \frac{v^5}{6K} \nabla_r^2 F(\mathbf{r}; t) = 0 \quad (2.64)$$

Le coefficient de diffusion (spatiale) est donc donné par

$$D_{\text{sp}} = \frac{v^5}{6K}. \quad (2.65)$$

Discussion. Une situation physique intéressante correspond à l'expansion d'un nuage initialement confiné et plongé dans un potentiel aléatoire. Après un temps Δt , les atomes ont diffusé à travers une distance quadratique moyenne

$$\Delta \mathbf{r}^2 \simeq 6D_{\text{sp}}\Delta t = \frac{v^5\Delta t}{K} \sim v^2T_{\text{iso}}\Delta t \ll (v\Delta t)^2 \quad (2.66)$$

A première vue, il semble que les atomes diffusent très rapidement (dépendance en v^5). Mais la deuxième formulation dans (2.66) nous rappelle que, lorsque le temps Δt est plus long que le temps caractéristique T_{iso} de l'évolution angulaire, la diffusion est au contraire beaucoup plus lente que le vol libre.

Il reste à remarquer que pour un temps d'expérience donné, ce sont les atomes les plus lents qui « ont le temps » d'entrer dans le régime diffusif (leur $T_{\text{iso}} \propto v^3$ est compris dans la durée de l'expérience). Les atomes plus rapides suivent par contre un transport balistique avec $\Delta \mathbf{r}^2 \simeq (v\Delta t)^2$, ils n'ont en outre pas encore « oublié » leur distribution angulaire initiale. C'est ainsi qu'ils ont parcouru la distance la plus grande (et que leur distribution en position permet de remonter à la distribution des vitesses initiale). Nous constatons donc qu'il est possible d'observer simultanément plusieurs comportements du transport, pour chacune des classes de vitesses (radiales) des atomes. Le comportement diffusif apparaît seulement pour les classes les plus lentes, il va se manifester, à la fin de l'expérience, au centre de la distribution spatiale.

Chapitre 3

Transport d'atomes — point de vue ondulatoire

Un bref aperçu d'approches ondulatoires pour modéliser le transport d'atomes dans un milieu aléatoire. Un grand nombre de résultats sont bien connus dans le contexte optique (« diffusion multiple de la lumière »). Nous montrerons en particulier comment l'on obtient une équation du transfert radiatif à partir de la description ondulatoire. C'est un exemple particulier du passage du « microscopique » vers le « macroscopique ».

3.1 Introduction

Nous nous plaçons maintenant dans un contexte ondulatoire où les atomes sont décrits, au niveau le plus fondamental de la théorie, par une fonction d'onde $\psi(\mathbf{r}, t)$. Son équation d'évolution est l'équation de SCHRÖDINGER :

$$i\hbar\partial_t\psi(\mathbf{r}, t) + \frac{\hbar^2}{2M}\nabla^2\psi = V(\mathbf{r})\psi \quad (3.1)$$

où $V(\mathbf{r})$ est le potentiel aléatoire. Nous nous intéressons à des *propriétés moyennes* des atomes lorsque l'on ignore presque tout du potentiel aléatoire, sauf sa valeur moyenne (que nous supposons égale à zéro, avec une redéfinition convenable de l'énergie¹) et sa fonction de corrélation $\langle V(\mathbf{r}_1)V(\mathbf{r}_2) \rangle$. Les quantités intéressantes dans le contexte de cette approche statistique sont, d'une part, la *valeur moyenne* $\langle \psi(\mathbf{r}) \rangle$ de la fonction d'onde et, d'autre part, sa *fonction de corrélation* $\langle \psi(\mathbf{r}_1)\psi^*(\mathbf{r}_2) \rangle$ que nous appellerons également la fonction de cohérence. Notons que la première de ces quantités n'est

¹Pour des atomes dans un potentiel aléatoire « profond » (qui peut devenir plus grand que l'énergie cinétique atomique), cette redéfinition de l'énergie implique que la fonction d'onde moyenne est une onde « localisée » : son vecteur d'onde k_0 est imaginaire parce que $\langle V \rangle > E_i$. Cette situation n'a pas d'analogue lumineux, et il serait intéressant d'en explorer les conséquences d'un point de vue théorique. Mais l'on n'aura pas le temps de le faire ici...

pas forcément nulle lorsque l'on se trouve au voisinage d'une « source cohérente » d'atomes. La fonction d'onde moyenne décrit alors la partie « cohérente » de l'onde atomique dont la phase est suffisamment bien définie pour qu'elle puisse interférer avec une onde de référence. La fonction de cohérence, quant à elle, décrit la distribution en position et en impulsion de l'ensemble atomique, comme nous verrons dans la représentation de WIGNER. Elle décrit également le contraste des franges lorsque l'on fait interférer les ondes rayonnées par deux points « du même ensemble » (en opposition à l'interférence avec une onde de référence dont il était question pour la fonction d'onde moyenne).

Dans la suite de cette introduction, nous allons fixer quelques notations. Quant au potentiel aléatoire, nous introduisons sa densité spectrale (spatiale)

$$S(\mathbf{q}) = \int d\mathbf{r} \langle V(\mathbf{r} + \mathbf{r}_0) V(\mathbf{r}_0) \rangle \exp(-i\mathbf{q} \cdot \mathbf{r}) \quad (3.2)$$

qui est la transformée de FOURIER de la fonction de corrélation du potentiel. Dans cette définition, nous supposons que le potentiel aléatoire est (statistiquement) homogène, c'est-à-dire que sa fonction de corrélation en deux points $\mathbf{r}_{1,2}$ ne dépend que de la différence $\mathbf{r}_2 - \mathbf{r}_1$. La portée de la densité spectrale (3.2) en fonction du vecteur d'onde \mathbf{q} est de l'ordre de l'inverse $1/\ell_c$ de la longueur de corrélation.

Quant à l'ensemble atomique, introduisons sa distribution de WIGNER :

$$f(\mathbf{r}, \mathbf{k}) = \int d\mathbf{s} \langle \psi(\mathbf{r} + \frac{1}{2}\mathbf{s}) \psi^*(\mathbf{r} - \frac{1}{2}\mathbf{s}) \rangle \exp(-i\mathbf{k} \cdot \mathbf{s}) \quad (3.3)$$

Cette distribution a des propriétés similaires à une densité de probabilité dans l'espace des phases :

- elle dépend à la fois de la position \mathbf{r} et du vecteur d'onde \mathbf{k} ;
- son intégrale sur les positions (sur les vecteurs d'onde) donne la distribution en vecteur d'onde (en position) des atomes ;
- le flux moyen atomique peut s'exprimer comme la valeur moyenne du vecteur d'onde :

$$\mathbf{j}(\mathbf{r}) = \frac{\hbar}{M} \text{Im} \langle \psi^*(\mathbf{r}) \nabla \psi(\mathbf{r}) \rangle = \int d\mathbf{k} \frac{\hbar \mathbf{k}}{M} f(\mathbf{r}, \mathbf{k}); \quad (3.4)$$

- notons cependant que la distribution de WIGNER n'est pas nécessairement positive, elle ne peut donc pas en toutes circonstances être interprétée comme une densité de probabilité.

Nous allons souvent considérer des atomes avec une énergie E fixée. L'équation de SCHRÖDINGER stationnaire peut alors s'écrire de la façon suivante :

$$\nabla^2 \psi(\mathbf{r}) + k_0^2 [1 + \mu(\mathbf{r})] \psi(\mathbf{r}) = 0; \quad (3.5)$$

$$E = \hbar^2 k_0^2 / 2M, \quad \mu(\mathbf{r}) = -V(\mathbf{r})/E. \quad (3.6)$$

Cette forme de l'équation met en évidence l'analogie à la lumière (dans l'approximation scalaire), où $\mu(\mathbf{r})$ est la déviation de la constante diélectrique de l'unité. L'équation

de Schrödinger stationnaire sera notre point de départ pour la théorie de la « diffusion multiple des ondes de matière ». Une quantité importante dans ce contexte sera la fonction de corrélation de la constante diélectrique, donc du potentiel aléatoire renormalisé :

$$\langle \mu(\mathbf{r}_1) \mu(\mathbf{r}_2) \rangle = E^{-2} \langle V(\mathbf{r}_1) V(\mathbf{r}_2) \rangle = \epsilon^2 g(\mathbf{r}_2 - \mathbf{r}_1), \quad (3.7)$$

$$\epsilon = \langle V^2 \rangle^{1/2} / E \quad (3.8)$$

Le nombre ϵ donne donc l'ordre de grandeur du potentiel aléatoire par rapport à l'énergie des atomes. Au chapitre précédent, nous avons seulement considéré le cas $\epsilon \ll 1$. Nous ferons de même ici, notre théorie ne s'applique donc pas au cas d'un potentiel aléatoire qui « piègerait » les atomes dans ses vallées.

3.2 Point de vue de RYZHIK *et al.*

Dans l'article de RYZHIK, PAPANICOLAOU et KELLER [Keller96], la diffusion des ondes scalaires par un potentiel aléatoire est étudiée en guise d'introduction. Nous nous contenterons ici d'esquisser leur démarche.

3.2.1 Equation de transport à grande échelle

Ils cherchent une équation d'évolution pour la distribution de WIGNER à des échelles spatiales grandes par rapport à la portée des corrélations du potentiel aléatoire, d'une part, et à la longueur d'onde atomique, d'autre part. En utilisant un développement « multi-échelles », ils parviennent à démontrer que la distribution de WIGNER vérifie une équation du type *transfert radiatif* qu'ils écrivent de la façon suivante :

$$\left(\partial_t + \frac{\hbar \mathbf{k}}{M} \cdot \nabla_{\mathbf{r}} \right) f(\mathbf{r}, \mathbf{k}) = \frac{4\pi M}{\hbar^3} \int \frac{d\mathbf{k}'}{(2\pi)^3} S(\mathbf{k}' - \mathbf{k}) \delta(\mathbf{k}'^2 - \mathbf{k}^2) \times \\ \times [f(\mathbf{r}, \mathbf{k}') - f(\mathbf{r}, \mathbf{k})] \quad (3.9)$$

Le dernier terme dans cette équation décrit la diffusion d'une onde atomique du vecteur d'onde initial \mathbf{k} vers le vecteur d'onde final \mathbf{k}' . L'efficacité de ce processus est proportionnelle à la densité spectrale du potentiel $S(\mathbf{k}' - \mathbf{k})$ au transfert de vecteur d'onde, comme c'est le cas dans l'approximation de BORN. L'équation du transfert radiatif (3.9) implique donc les valeurs suivantes pour la section efficace de diffusion² σ_{tot} et la fonction de phase³ $p(\mathbf{n}', \mathbf{n}; k_0)$

$$\sigma_{\text{tot}}(k_0) = \frac{kM}{\pi \hbar^3} \int \frac{d^2 \mathbf{n}'}{4\pi} S(k_0(\mathbf{n}' - \mathbf{n})) \quad (3.10)$$

²Il s'agit en fait du nombre de diffusions par unité de temps. Elle est reliée au libre parcours moyen ℓ_{ex} par $\sigma_{\text{tot}} = \hbar k_0 / (M \ell_{\text{ex}})$.

³La fonction de phase (3.11) dépend des deux vecteurs unitaires \mathbf{n}' , \mathbf{n} ; elle est normalisée telle que $\int d^2 \mathbf{n} p(\mathbf{n}', \mathbf{n}; k_0) = 1$.

$$p(\mathbf{n}', \mathbf{n}; k_0) = \frac{k_0 M}{4\pi^2 \hbar^3 \sigma_{\text{tot}}} S(k_0(\mathbf{n}' - \mathbf{n})) \quad (3.11)$$

3.2.2 Discussion

Tout d'abord, l'équation de transport (3.9) est un résultat utile pour fixer le comportement à grande distance de la distribution de WIGNER. D'une façon plus conceptuelle, le travail de RYZHIK *et al.* fournit donc une démonstration alternative de l'équation de transfert radiatif pour les ondes scalaires : celle-ci est valable à des échelles spatiales grandes par rapport à la longueur d'onde et la longueur de corrélation. On en a vu d'autres démonstrations par RYTOV ([Rytov], § 4.3) et BARABANENKOV et FINKEL'BERG [Barabanenkov67].

Ensuite, il ne faut pas oublier que (3.9) contient implicitement l'hypothèse que le potentiel aléatoire est « faible » ; en effet, nous avons constaté que la diffusion par le potentiel est décrite dans l'approximation de BORN (la section efficace est proportionnelle au carré de la transformée de FOURIER du potentiel). Nous retrouvons là la proposition de LUCK [Luck93, Luck96] qui dit que l'équation de BETHE–SALPETER est équivalente à l'équation du transfert radiatif lorsque l'on tient compte des diagrammes « en échelle » (*ladder approximation*) ce qui revient à une approximation de diffusion simple et donc de BORN.

Finalement, nous remarquons que l'équation de transfert (3.9) se simplifie lorsque l'on se place dans le régime semi-classique. En utilisant la fonction de phase (3.11), nous constatons que la valeur maximale de l'angle de diffusion θ est donnée par

$$k_0 |\mathbf{n}' - \mathbf{n}|_{\text{max}} = 2k_0 \sin(\theta_{\text{max}}/2) \simeq \frac{1}{\ell_c} \implies 2 \sin(\theta_{\text{max}}/2) \simeq \frac{\lambda_{dB}}{\ell_c} \ll 1 \quad (3.12)$$

Dans le régime semi-classique, la diffusion des atomes se produit donc de préférence vers l'avant, et nous pouvons utiliser la formulation de FOKKER–PLANCK de l'équation de transfert radiatif introduite au chapitre 1. Nous avons vérifié que l'on trouve une équation de FOKKER–PLANCK identique à celle du chapitre 2 où nous nous sommes placé d'emblée dans une description classique.⁴

3.2.3 Conclusion

A des échelles spatiales grandes par rapport à la longueur de corrélation du potentiel aléatoire et pour un potentiel aléatoire faible, la distribution de Wigner des atomes vérifie une équation de transport du type transfert radiatif. La fonction de phase dans cette théorie s'exprime en fonction de la densité spectrale du potentiel aléatoire, comme c'est le cas dans l'approximation de BORN (de diffusion simple). Nous retrouvons exactement l'image classique du transport lorsque la longueur d'onde

⁴Il faut à cet effet exprimer le coefficient de diffusion par la fonction de corrélation du potentiel aléatoire, et utiliser un développement à l'ordre le plus bas en λ_{dB}/ℓ_c pour retrouver la fonction de corrélation de la force aléatoire.

atomique est petite par rapport à la longueur de corrélation du potentiel ; la distribution de WIGNER vérifie alors une équation de FOKKER–PLANCK.

3.3 Diffusion multiple des ondes

Introduisons maintenant un formalisme ondulatoire plus général qui est également en mesure de décrire la diffusion multiple des ondes atomiques. Nous allons présenter les objets et les équations de base d’une telle théorie, à savoir

- la fonction de GREEN moyenne, qui permet de calculer la fonction d’onde moyenne et qui vérifie l’équation de DYSON,
- la fonction de cohérence atomique et son équation d’évolution, l’équation de BETHE–SALPETER (B.–S.).

Au paragraphe 3.4 suivant, nous étudierons de façon générale le lien entre l’équation de B.–S. et la théorie du transfert radiatif. Nous nous servons à cet effet de la représentation de WIGNER.

Dans ce paragraphe, nous nous plaçons dans une situation stationnaire, l’énergie des atomes est donc fixée par le vecteur d’onde atomique k_0 (valeur dans le potentiel moyen).

3.3.1 Fonction de GREEN moyenne

La quantité centrale pour décrire la fonction d’onde atomique est la fonction de GREEN $G(\mathbf{r}, \mathbf{r}')$ pour l’équation de SCHRÖDINGER stationnaire (3.5) :

$$\nabla_r^2 G(\mathbf{r}, \mathbf{r}') + k_0^2 [1 + \mu(\mathbf{r})] G(\mathbf{r}, \mathbf{r}') = \delta(\mathbf{r} - \mathbf{r}') \quad (3.13)$$

Cet objet décrit la fonction d’onde rayonnée par une source ponctuelle (de fréquence E/\hbar) située à la position \mathbf{r}' dans le milieu aléatoire. Pour une source spatialement étendue, nous trouvons la fonction d’onde en sommant les champs rayonnés par tous les points source.

Equation de DYSON

La fonction de GREEN (3.13) dépend du potentiel aléatoire en chaque point, et il est impossible dans la pratique de la calculer explicitement. L’objet intéressant est donc la *fonction de GREEN moyenne*, la moyenne étant prise sur les configurations du potentiel aléatoire. Nous utiliserons la notation

$$\overline{G}(\mathbf{r} - \mathbf{r}') = \langle G(\mathbf{r}, \mathbf{r}') \rangle \quad (3.14)$$

pour cette fonction de GREEN. Elle décrit donc la valeur moyenne de la fonction d’onde rayonnée par une source ponctuelle. En écrivant (3.14), nous avons supposé que le milieu aléatoire est statistiquement homogène : la fonction de GREEN moyenne ne dépend alors que la distance $\mathbf{r} - \mathbf{r}'$ entre le point d’observation et le point source.

Il s'agit maintenant de trouver une équation fermée pour la fonction de GREEN moyenne. Il est utile à cet effet de transformer l'équation de SCHRÖDINGER (3.13) en une équation intégrale :

$$G(\mathbf{r}, \mathbf{r}') = G_0(\mathbf{r} - \mathbf{r}') + k_0^2 \int d\mathbf{r}_1 G_0(\mathbf{r} - \mathbf{r}_1) \mu(\mathbf{r}_1) G(\mathbf{r}_1, \mathbf{r}'), \quad (3.15)$$

où nous avons utilisé la fonction de GREEN $G_0(\mathbf{r} - \mathbf{r}')$ pour l'espace libre :

$$G_0(\mathbf{r} - \mathbf{r}') = -\frac{\exp ik_0|\mathbf{r} - \mathbf{r}'|}{4\pi|\mathbf{r} - \mathbf{r}'|} \quad (3.16)$$

L'approximation de BORN consiste à résoudre (3.15) en remplaçant au membre droit, G par la solution en espace libre G_0 . On constate que cette procédure est le premier terme d'une solution par itération. En allant au-delà de l'approximation de BORN, une telle solution génère des produits avec de plus en plus de facteurs $\mu(\mathbf{r})$. L'on peut alors prendre la valeur moyenne de cette série, pour faire apparaître les fonctions de corrélation du potentiel aléatoire. En toute généralité, l'on aura affaire à des corrélations d'ordre arbitrairement élevé, comme par exemple

$$\langle \mu(\mathbf{r}_1) \mu(\mathbf{r}_2) \mu(\mathbf{r}_3) \rangle$$

Pour simplifier la théorie, nous allons supposer que le potentiel aléatoire à une statistique gaussienne; c'est-à-dire que les fonctions de corrélations d'ordre supérieur à deux peuvent s'exprimer au moyen de la fonction de corrélation à deux points. Toutes les corrélations à un nombre de points impair s'annulent alors, et pour les corrélation à quatre points, par exemple, nous avons

$$\begin{aligned} \langle \mu(\mathbf{r}_1) \mu(\mathbf{r}_2) \mu(\mathbf{r}_3) \mu(\mathbf{r}_4) \rangle &= \langle \mu(\mathbf{r}_1) \mu(\mathbf{r}_2) \rangle \langle \mu(\mathbf{r}_3) \mu(\mathbf{r}_4) \rangle + \\ &+ \langle \mu(\mathbf{r}_1) \mu(\mathbf{r}_3) \rangle \langle \mu(\mathbf{r}_2) \mu(\mathbf{r}_4) \rangle + \langle \mu(\mathbf{r}_1) \mu(\mathbf{r}_4) \rangle \langle \mu(\mathbf{r}_2) \mu(\mathbf{r}_3) \rangle. \end{aligned}$$

La solution itérative reste quand même complexe et contient une infinité de termes. Pour les organiser, l'on peut se servir d'une méthode de diagrammes. Cette approche est exposée dans les articles de FRISCH [Frisch66] et dans les livres de Rytov *et al.* ([Rytov], § 4.1) et de Ping SHENG ([Sheng95], §§ 4.3, 4.4). En ré-organisant la série itérative, l'on trouve l'équation suivante pour la fonction de GREEN moyenne, l'équation de DYSON :

$$\bar{G}(\mathbf{r} - \mathbf{r}') = G_0(\mathbf{r} - \mathbf{r}') + \int d\mathbf{r}_1 d\mathbf{r}_2 G_0(\mathbf{r} - \mathbf{r}_1) m(\mathbf{r}_1 - \mathbf{r}_2) \bar{G}(\mathbf{r}_2 - \mathbf{r}'), \quad (3.17)$$

où $m(\mathbf{r}_1 - \mathbf{r}_2)$ est appelé l'« opérateur de masse ». Son développement itératif ne contient que des « diagrammes irréductibles »⁵ et s'écrit :

$$m(\mathbf{r}_1 - \mathbf{r}_2) = \epsilon^2 k_0^4 g(\mathbf{r}_1 - \mathbf{r}_2) G_0(\mathbf{r}_1 - \mathbf{r}_2) + \quad (3.18)$$

$$\begin{aligned} &+ \epsilon^4 k_0^8 \int d\mathbf{r}_3 d\mathbf{r}_4 G_0(\mathbf{r}_1 - \mathbf{r}_3) G_0(\mathbf{r}_3 - \mathbf{r}_4) G_0(\mathbf{r}_4 - \mathbf{r}_2) \times \\ &\times [g(\mathbf{r}_1 - \mathbf{r}_4) g(\mathbf{r}_2 - \mathbf{r}_3) + g(\mathbf{r}_1 - \mathbf{r}_2) g(\mathbf{r}_4 - \mathbf{r}_3)] + \dots \end{aligned} \quad (3.19)$$

⁵«strongly connected»

Nous notons que l'opérateur de masse ne dépend que de la différence des positions $\mathbf{r}_1 - \mathbf{r}_2$, ceci étant dû à l'homogénéité statistique.

Afin d'interpréter l'opérateur de masse, revenons à une formulation différentielle de l'équation de DYSON, en appliquant l'opérateur $\nabla_r^2 + k_0^2$ à (3.17) :

$$(\nabla_r^2 + k_0^2) \overline{G}(\mathbf{r} - \mathbf{r}') = \delta(\mathbf{r} - \mathbf{r}') + \int d\mathbf{r}_1 m(\mathbf{r} - \mathbf{r}_1) \overline{G}(\mathbf{r}_1 - \mathbf{r}'), \quad (3.20)$$

Ceci est en fait une équation intégral-différentielle qui exprime le champ moyen rayonnée dans le milieu aléatoire comme la somme d'un champ en espace libre (la fonction δ), plus une correction qui dépend de façon non-locale de la valeur du champ autour de la source (le deuxième terme). L'opérateur de masse traduit donc précisément la rétro-action du milieu diffusant sur la propagation du champ moyen.

Nous notons finalement que l'on peut résoudre (3.20) par une transformée de FOURIER puisque le milieu est homogène. L'intégrale du deuxième terme est en effet un produit de convolution, et nous avons donc pour les transformées de FOURIER

$$(k_0^2 - \mathbf{k}^2) \overline{G}(\mathbf{k}) = 1 + m(\mathbf{k}) \overline{G}(\mathbf{k}) \quad (3.21)$$

$$\text{d'où : } \overline{G}(\mathbf{k}) = \frac{1}{k_0^2 - \mathbf{k}^2 - m(\mathbf{k})} \quad (3.22)$$

Nous en déduisons la relation de dispersion des ondes de matière dans le milieu désordonné :

$$\mathbf{k}^2 + m(\mathbf{k}) = k_0^2 \quad (3.23)$$

Cette équation définit le vecteur d'onde « effectif » k_{eff} de la fonction d'onde moyenne dans le milieu. Il diffère du vecteur d'onde dans le vide k_0 pour deux raisons : d'une part, la diffusion par le milieu introduit de l'atténuation pour le champ cohérent, ce qui se traduit par une partie imaginaire du vecteur d'onde, et d'autre part, la diffusion modifie la phase de propagation des ondes.⁶

3.3.2 Approximation de BOURRET

Tout ce que nous venons d'exposer ne serait en fait que des manipulations formelles d'équations s'il n'y avait pas un moyen de calculer l'opérateur de masse $m(\mathbf{r}_1 - \mathbf{r}_2)$. Or, le développement (3.19) permet de le faire en principe (il contient néanmoins une infinité de termes), et en particulier dans une limite perturbative, lorsque l'on suppose $\epsilon \ll 1$. A l'ordre le plus bas, l'on trouve donc l'expression assez maniable de la première ligne (3.18)

$$m(\mathbf{r}_1 - \mathbf{r}_2) \approx \epsilon^2 k_0^4 g(\mathbf{r}_1 - \mathbf{r}_2) G_0(\mathbf{r}_1 - \mathbf{r}_2), \quad (3.24)$$

⁶RYTOV dit que la longueur des rayons augmente par l'effet de la diffusion et par conséquent aussi la partie réelle de k_{eff} ([Rytov], § 4.2, p. 137).

que l'on appelle, suivant les auteurs, l'« approximation de BOURRET » [Frisch66], l'« approximation de régularisation du premier ordre » [Frisch66], la “*ladder approximation*” [Rytov]. Elle doit également avoir un lien avec la “*random phase approximation*” (RPA) utilisée dans la physique des solides.

Nous remarquons que l'approximation de BOURRET (3.24) ressemble, au premier abord, à l'approximation de BORN pour l'opérateur de masse. Qu'a-t-on alors gagné par rapport au choix de faire d'emblée l'approximation de BORN pour la fonction de GREEN ? La réponse se trouve par exemple dans la formule (3.23) qui permet de calculer les « nouveaux modes » dans le milieu aléatoire, alors qu'avec l'approximation de BORN, la fonction de GREEN donne seulement une amplitude de diffusion. De façon plus profonde, le formalisme de l'équation de DYSON permet, dans l'approximation de BOURRET, de trouver une fonction de GREEN moyenne qui, elle, est déjà une resommation partielle d'une infinité de diagrammes.

Pour illustrer la puissance de l'approximation de BOURRET pour la diffusion multiple des ondes, citons le résultat pour le vecteur d'onde effectif dans un milieu faiblement diffuseur, donné par RYTOV ([Rytov], éq.(4.61)) :

$$k_{\text{eff}} = k_0 + \frac{\pi}{4} \epsilon^2 k_0^2 \int_0^\infty \frac{k' dk'}{(2\pi)^3} g(k') \log \left(\frac{2k_0 + k'}{2k_0 - k'} \right)^2 + i \frac{\pi^2}{2} \epsilon^2 k_0^2 \int_0^{2k_0} \frac{k' dk'}{(2\pi)^3} g(k') \quad (3.25)$$

où la fonction de corrélation est supposée isotrope (sa transformée de FOURIER $g(k')$ ne dépend alors que du module k' du vecteur d'onde). On constate que le vecteur d'onde dans le milieu contient une partie imaginaire positive (atténuation de l'onde cohérente par la diffusion), et une partie réelle un peu plus grande que dans le vide.

Pour donner un ordre de grandeur de ces effets, prenons un potentiel aléatoire avec une corrélation gaussienne. La densité spectrale est alors gaussienne également. La transformée de FOURIER $m(\mathbf{k})$ de l'opérateur de masse est alors donnée par

$$m(\mathbf{k}) = \frac{i\sqrt{\pi} (\epsilon k_0^2 \ell_c)^2}{2\sqrt{2} k \ell_c} \left[e^{-(k_0+k)^2 \ell_c^2 / 2} \text{erfc}[-i(k_0+k)\ell_c/\sqrt{2}] - e^{-(k_0-k)^2 \ell_c^2 / 2} \text{erfc}[-i(k_0-k)\ell_c/\sqrt{2}] \right] \quad (3.26)$$

$$\text{erfc}(x) = \frac{2}{\sqrt{\pi}} \int_x^\infty e^{-t^2} dt \quad (3.27)$$

Cette fonction est représentée sur la figure 3.1. Quant à la relation de dispersion (3.23), l'on trouve le vecteur d'onde effectif suivant (dans la limite semi-classique $k_0 \ell_c \gg 1$)

$$k_{\text{eff}} \approx k_0 \left(1 + \frac{\epsilon^2}{8} \right) + i k_0 \frac{\pi^2}{2(2\pi)^{3/2}} \epsilon^2 k_0 \ell_c. \quad (3.28)$$

RYTOV n'oublie pas de nous rappeler que ce résultat n'est valable que dans l'approximation de BOURRET. En comparant aux corrections d'ordre suivant, RYTOV trouve la condition de validité suivante

$$\text{BOURRET : } (\epsilon k_0 \ell_c)^2 \ll 1. \quad (3.29)$$

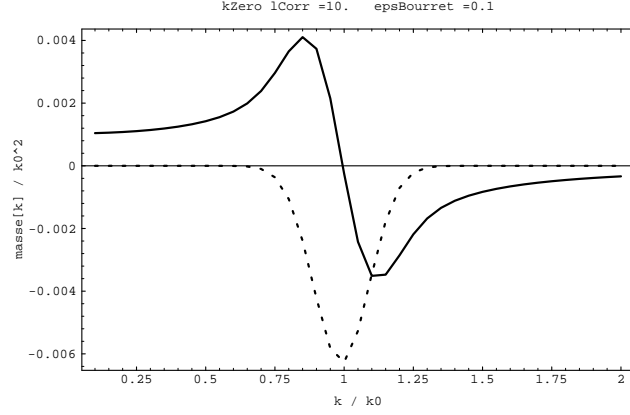


FIG. 3.1 – Opérateur de masse pour un potentiel aléatoire à corrélations gaussienne isotropes. Trait plein : partie réelle ; tirets : partie imaginaire.

$m(\mathbf{k})$ est donné en unités de k_0^2 , la longueur de corrélation vaut $\ell_c = 10/k_0$, et le petit paramètre de l’approximation de BOURRET vaut $(\epsilon k_0 \ell_c)^2 = 0.1$.

Rappelons que dans les méthodes classiques du chapitre 2, la condition de validité d’une approche de FOKKER–PLANCK était que le potentiel soit faible par rapport à l’énergie cinétique des atomes, ce qui revient dans la notation de ce chapitre à la condition $\epsilon^2 \ll 1$ [voir (2.33) et (2.35)]. L’approximation de BOURRET (3.29) impose donc une limite plus stricte au potentiel moyen qui l’est d’autant plus que l’on se place dans le régime semi-classique où $k_0 \ell_c \gg 1$.

Remarque. L’approximation de BOURRET peut être généralisée à un milieu aléatoire dont la statistique n’est pas gaussienne. Les fonctions de corrélations peuvent alors être écrites comme une somme sur des corrélations « élémentaires » $g_k(\mathbf{r}_1, \dots, \mathbf{r}_k)$ pour un groupe de k points (développement en essais⁷). FINKEL’BERG montre alors que pour calculer l’opérateur de masse à l’ordre le plus bas, il suffit de retenir les diagrammes irréductibles qui ne contiennent qu’un seul groupe de points [Finkelberg67]. Il appelle cette approximation la “*single-group approximation*”. Son avantage est qu’elle permet également de tenir compte de la diffusion par des agglomérats de plus que deux particules. FINKEL’BERG donne la condition de validité suivante pour cette approximation :

$$\text{single group : } \left| \frac{dm}{dk^2} \right| \ll 1. \quad (3.30)$$

⁷“cluster expansion”

Il montre en particulier que cette condition est suffisante pour que la diffusion soit faible (libre parcours moyen beaucoup plus grand que la longueur d'onde).

3.3.3 Equation de BETHE–SALPETER

Pour finir ce paragraphe, il ne reste qu'à présenter l'équation d'évolution pour la fonction de corrélation de la fonction d'onde atomique. Nous allons à cet effet considérer non plus la fonction de GREEN, mais l'onde rayonnée par une source $\varrho(\mathbf{r})$ quelconque

$$\psi(\mathbf{r}) = \int d\mathbf{r}' G(\mathbf{r}, \mathbf{r}') \varrho(\mathbf{r}') \quad (3.31)$$

L'onde moyenne $\langle \psi(\mathbf{r}) \rangle$ s'exprime alors par une équation analogue où intervient la fonction de GREEN moyenne $\overline{G}(\mathbf{r} - \mathbf{r}')$. En ce qui concerne la fonction de cohérence des atomes, elle s'exprime par une corrélation entre deux fonctions de GREEN :

$$\langle \psi(\mathbf{r}_1) \psi^*(\mathbf{r}_2) \rangle = \int d\mathbf{r}'_1 d\mathbf{r}'_2 \langle G(\mathbf{r}_1, \mathbf{r}'_1) G^*(\mathbf{r}_2, \mathbf{r}'_2) \rangle \varrho(\mathbf{r}'_1) \varrho^*(\mathbf{r}'_2) \quad (3.32)$$

Cette fonction de corrélation entre deux fonctions de GREEN est l'objet de l'équation de BETHE–SALPETER. Elle se déduit de l'équation de SCHRÖDINGER (3.5) de façon analogue à l'équation de DYSON (3.17) (voir [Frisch66] et § 4.3 de [Sheng95] pour plus de détails). L'équation de BETHE–SALPETER permet d'écrire l'équation fermée suivante pour la fonction de cohérence du champ atomique :

$$\begin{aligned} \langle \psi(\mathbf{r}_1) \psi^*(\mathbf{r}_2) \rangle &= \langle \psi(\mathbf{r}_1) \rangle \langle \psi^*(\mathbf{r}_2) \rangle + \int d\mathbf{r}'_1 d\mathbf{r}'_2 d\boldsymbol{\rho}_1 d\boldsymbol{\rho}_2 \\ &\quad \overline{G}(\mathbf{r}_1 - \mathbf{r}'_1) \overline{G}^*(\mathbf{r}_2 - \mathbf{r}'_2) K(\mathbf{r}'_1, \boldsymbol{\rho}_1 | \mathbf{r}'_2, \boldsymbol{\rho}_2) \langle \psi(\boldsymbol{\rho}_1) \psi^*(\boldsymbol{\rho}_2) \rangle \end{aligned} \quad (3.33)$$

Dans cette équation apparaît la fonction $K(\mathbf{r}_1, \boldsymbol{\rho}_1 | \mathbf{r}_2, \boldsymbol{\rho}_2)$ que FRISCH appelle l'« opérateur d'intensité ». Chez d'autres auteurs, elle porte le nom de « vertex irréductible » [Tsang85, Sheng95]. D'un point de vue physique, cet objet décrit la corrélation aux positions $\mathbf{r}_{1,2}$ entre les champs rayonnés par deux sources situées à $\boldsymbol{\rho}_{1,2}$. Son développement perturbatif (en diagrammes) contient les premiers termes suivants :

$$\begin{aligned} K(\mathbf{r}_1, \boldsymbol{\rho}_1 | \mathbf{r}_2, \boldsymbol{\rho}_2) &= \epsilon^2 k_0^4 g(\mathbf{r}_1 - \mathbf{r}_2) \delta(\mathbf{r}_1 - \boldsymbol{\rho}_1) \delta(\mathbf{r}_2 - \boldsymbol{\rho}_2) + \\ &+ \epsilon^4 k_0^6 g(\mathbf{r}_1 - \mathbf{r}_2) g(\boldsymbol{\rho}_1 - \boldsymbol{\rho}_2) [\delta(\mathbf{r}_1 - \boldsymbol{\rho}_1) G_0(\mathbf{r}_2 - \boldsymbol{\rho}_2) + \{1 \leftrightarrow 2\}] + \\ &+ \epsilon^4 k_0^8 g(\mathbf{r}_1 - \boldsymbol{\rho}_2) g(\boldsymbol{\rho}_1 - \mathbf{r}_2) G_0(\mathbf{r}_1 - \boldsymbol{\rho}_1) G_0(\mathbf{r}_2 - \boldsymbol{\rho}_2) + \\ &+ \epsilon^4 k_0^8 g(\mathbf{r}_1 - \boldsymbol{\rho}_1) \delta(\mathbf{r}_2 - \boldsymbol{\rho}_2) \int d\mathbf{r}'_1 G_0(\mathbf{r}_1 - \mathbf{r}'_1) g(\mathbf{r}'_1 - \mathbf{r}_2) G_0(\mathbf{r}'_1 - \boldsymbol{\rho}_1) + \\ &+ \{1 \leftrightarrow 2\} + \dots \end{aligned} \quad (3.34)$$

L'opérateur d'intensité est donc un objet plutôt encombrant. Son approximation de BOURRET est donnée par la première ligne, l'éq. (3.34), où l'on constate qu'il revient essentiellement à la fonction de corrélation du potentiel si ce dernier est faible.

Notons encore la propriété générale suivante de l'opérateur (3.35), elle aussi due à l'homogénéité du milieu diffuseur : il est invariant par une translation globale de ses quatre arguments

$$K(\mathbf{r}_1 + \Delta\mathbf{r}, \boldsymbol{\rho}_1 + \Delta\mathbf{r} | \mathbf{r}_2 + \Delta\mathbf{r}, \boldsymbol{\rho}_2 + \Delta\mathbf{r}) = K(\mathbf{r}_1, \boldsymbol{\rho}_1 | \mathbf{r}_2, \boldsymbol{\rho}_2) \quad (3.36)$$

Par conséquent, il ne peut dépendre que des différences des positions, comme on le constate aussi dans le développement (3.35). Ceci se traduit par la propriété suivante pour la transformée de FOURIER de l'opérateur d'intensité :

$$K(\mathbf{k}_1, \boldsymbol{\kappa}_1 | \mathbf{k}_2, \boldsymbol{\kappa}_2) = \int d\mathbf{r}_1 d\mathbf{r}_2 d\boldsymbol{\rho}_1 d\boldsymbol{\rho}_2 K(\mathbf{r}_1, \boldsymbol{\rho}_1 | \mathbf{r}_2, \boldsymbol{\rho}_2) \exp i(-\mathbf{k}_1 \cdot \mathbf{r}_1 + \boldsymbol{\kappa}_1 \cdot \boldsymbol{\rho}_1 + \mathbf{k}_2 \cdot \mathbf{r}_2 - \boldsymbol{\kappa}_2 \cdot \boldsymbol{\rho}_2) \quad (3.37)$$

$$= (2\pi)^3 \delta(\mathbf{k}_1 - \boldsymbol{\kappa}_1 - (\mathbf{k}_2 - \boldsymbol{\kappa}_2)) \tilde{K}(\mathbf{k}_1, \boldsymbol{\kappa}_1 | \mathbf{k}_2, \boldsymbol{\kappa}_2) \quad (3.38)$$

Les signes des vecteurs d'onde ont été choisis tels que la T.-F. de l'opérateur d'intensité admet l'interprétation suivante : il décrit la corrélation entre les amplitudes pour les deux processus de diffusion

$$\boldsymbol{\kappa}_1 \rightarrow \mathbf{k}_1 \quad \text{et} \quad \boldsymbol{\kappa}_2 \rightarrow \mathbf{k}_2$$

La fonction δ dans (3.38) exprime alors que ces deux processus ne sont corrélés que lorsqu'ils font intervenir le même transfert de vecteur d'onde :

$$K \neq 0 \quad \iff \quad \mathbf{k}_1 - \boldsymbol{\kappa}_1 = \mathbf{k}_2 - \boldsymbol{\kappa}_2 \quad (3.39)$$

Cette propriété se comprend aisément dans l'approximation de BORN : l'amplitude de diffusion pour le processus $\boldsymbol{\kappa}_1 \rightarrow \mathbf{k}_1$ est proportionnelle à la composante de FOURIER $\mu(\mathbf{k}_1 - \boldsymbol{\kappa}_1)$ du potentiel aléatoire, et les composantes de FOURIER du potentiel aléatoire sont « δ -corrélées » lorsque le potentiel est statistiquement homogène :

$$\langle \mu(\mathbf{q}_1) \mu^*(\mathbf{q}_2) \rangle = \delta(\mathbf{q}_1 - \mathbf{q}_2) (2\pi)^3 \epsilon^2 g(\mathbf{q}_1). \quad (3.40)$$

Dans la pratique, il n'est pas possible de résoudre l'équation de BETHE-SALPETER (3.33), même dans l'approximation de BOURRET. Au paragraphe suivant, nous retraçons une reformulation de l'éq. de B.-S. qui permet de retrouver l'approche du transfert radiatif.

3.4 Lien à l'équation du transfert radiatif

L'intérêt de ce paragraphe est de préciser le domaine de validité de l'équation du transfert radiatif, en la déduisant du formalisme microscopique de la diffusion multiple des ondes. Une présentation semblable a été donnée par BARABANENKOV et FINKEL'BERG [Barabanenkov67] et par RYTOV *et al.* ([Rytov], § 4.3) pour des ondes scalaires. Pour des ondes électromagnétiques, une généralisation de l'équation du

transfert radiatif (portant sur le vecteur de STOKES) est déjà formulée dans le livre de CHANDRASEKHAR. Une justification microscopique en a été donnée par K. M. WATSON [Watson69] dans une situation de diffusion faible, et J.-M. TUALLE a fourni une présentation plus générale [TualleT]. Une bonne référence est également l'article de revue de LAGENDIJK et VAN TIGGELEN [vanTiggelen96].

Nous verrons que l'équation du transfert radiatif (ETR) est valable à grande échelle spatiale (ce qui n'est guère étonnant, vu le résultat de RYZHIK *et al.*), mais aussi quelle que soit la force du potentiel diffuseur. Ce dernier point semble ne pas avoir été soulevé par d'autres auteurs parce que l'on se place dans la plupart des cas dans le régime de diffusion faible, en utilisant l'approximation de BOURRET. LUCK, par exemple, dit dans ses papiers [Luck93, Luck96], au tournant d'une phrase : « l'équation de BETHE–SALPETER, dans l'approximation de BOURRET, est équivalente à l'équation du transfert radiatif ». Nous allons par contre rester assez général et ne pas faire l'approximation de BOURRET. Ainsi le formalisme permet-il de voir à quel endroit l'équation du transfert radiatif est moins générale que celle de B.–S.

Nous allons seulement faire l'hypothèse suivante (qui ne semble pas très restrictive)

- le milieu est statistiquement homogène. La fonction de GREEN moyenne \overline{G} , qui intervient dans l'équation de B.–S. (3.33), admet alors le développement de FOURIER (3.22)⁸

$$\overline{G}(\mathbf{r} - \mathbf{r}') = \int d\mathbf{k} \frac{\exp i\mathbf{k} \cdot (\mathbf{r} - \mathbf{r}')}{k_0^2 - \mathbf{k}^2 - m(\mathbf{k})} \quad (3.41)$$

où $m(\mathbf{k})$ est l'opérateur de masse.

3.4.1 BETHE–SALPETER dans WIGNER

La première étape consiste à exprimer l'équation de B.–S. (3.33) en représentation de WIGNER. En introduisant les transformées de FOURIER des fonctions de GREEN moyennées et de l'opérateur d'intensité, l'on trouve l'équation suivante :

$$f(\mathbf{r}, \mathbf{k}) = f_{\text{coh}}(\mathbf{r}, \mathbf{k}) + f_{\text{diff}}(\mathbf{r}, \mathbf{k}) \quad (3.42)$$

Calculons d'abord le premier terme qui correspond à la transformée de WIGNER du produit des champs moyens. Nous exprimons le champ moyen à l'aide de la fonction de GREEN moyennée (*cf.* éq. 3.31) et insérons ensuite la décomposition de FOURIER (3.41) de cette dernière :

$$f_{\text{coh}}(\mathbf{r}, \mathbf{k}) =$$

⁸Nous nous servons de la notation abrégée

$$d\mathbf{k} = \frac{d\mathbf{k}}{(2\pi)^3}.$$

$$\begin{aligned}
&= \int ds e^{-i\mathbf{k}\cdot\mathbf{s}} \int d\boldsymbol{\rho}_1 d\boldsymbol{\rho}_2 \overline{G}(\mathbf{r} + \frac{1}{2}\mathbf{s} - \boldsymbol{\rho}_1) \overline{G}^*(\mathbf{r} - \frac{1}{2}\mathbf{s} - \boldsymbol{\rho}_2) \varrho(\boldsymbol{\rho}_1) \varrho^*(\boldsymbol{\rho}_2) \\
&= \int ds \overline{d\mathbf{k}}_1 \overline{d\mathbf{k}}_2 d\boldsymbol{\rho} \overline{G}(\mathbf{k}_1) \overline{G}^*(\mathbf{k}_2) f_\varrho[\boldsymbol{\rho}, \frac{1}{2}(\mathbf{k}_1 + \mathbf{k}_2)] \times \\
&\quad \times \exp i \left[-\mathbf{k}\cdot\mathbf{s} + \frac{1}{2}(\mathbf{k}_1 + \mathbf{k}_2)\cdot\mathbf{s} + (\mathbf{k}_1 - \mathbf{k}_2)\cdot(\mathbf{r} - \boldsymbol{\rho}) \right] \quad (3.43)
\end{aligned}$$

Nous avons effectué une des deux intégrations sur les positions de la source $\varrho(\boldsymbol{\rho})$ pour faire apparaître sa transformée de WIGNER $f_\varrho[\boldsymbol{\rho}, \frac{1}{2}(\mathbf{k}_1 + \mathbf{k}_2)]$. L'intégration sur \mathbf{s} est maintenant immédiate et l'équation (3.43) devient ($\mathbf{q} = \mathbf{k}_1 - \mathbf{k}_2$, $\mathbf{k} = \frac{1}{2}(\mathbf{k}_1 + \mathbf{k}_2)$) :

$$f_{\text{coh}}(\mathbf{r}, \mathbf{k}) = \int d\boldsymbol{\rho} \overline{d\mathbf{q}} \tilde{A}(\mathbf{q}; \mathbf{k}) f_\varrho(\boldsymbol{\rho}, \mathbf{k}) \exp i\mathbf{q}\cdot(\mathbf{r} - \boldsymbol{\rho}) \quad (3.44)$$

avec l'abréviation suivante pour le produit des transformées de FOURIER des fonctions de GREEN moyennées :

$$\tilde{A}(\mathbf{q}; \mathbf{k}) = \overline{G}(\mathbf{k} + \frac{1}{2}\mathbf{q}) \overline{G}^*(\mathbf{k} - \frac{1}{2}\mathbf{q}) \quad (3.45)$$

Nous constatons donc que le terme cohérent relie la luminance observée à celle de la source au même vecteur d'onde \mathbf{k} . Ecrivons ce résultat encore sous la forme intégrale d'une équation de transfert radiatif. Le terme cohérent s'exprime comme une intégrale sur les points sources, pondérés avec une « fonction d'atténuation » (la transformée de sc Fourier de $\tilde{A}(\mathbf{q}; \mathbf{k})$) :

$$f_{\text{coh}}(\mathbf{r}, \mathbf{k}) = \int d\boldsymbol{\rho} A(\mathbf{r} - \boldsymbol{\rho}; \mathbf{k}) f_\varrho(\boldsymbol{\rho}, \mathbf{k}), \quad (3.46)$$

$$A(\mathbf{r} - \boldsymbol{\rho}; \mathbf{k}) = \int \overline{d\mathbf{q}} \tilde{A}(\mathbf{q}; \mathbf{k}) \exp i\mathbf{q}\cdot(\mathbf{r} - \boldsymbol{\rho}) \quad (3.47)$$

Pour le deuxième terme f_{diff} dans (3.42), nous obtenons d'abord, par une procédure similaire, l'expression suivante qui ressemble à (3.43) :

$$\begin{aligned}
f_{\text{diff}}(\mathbf{r}, \mathbf{k}) &= \int ds \overline{d\mathbf{k}}_1 \overline{d\mathbf{k}}_2 d\boldsymbol{\rho} \overline{d\boldsymbol{\kappa}}_1 \overline{d\boldsymbol{\kappa}}_2 \\
&\quad K(\mathbf{k}_1, \boldsymbol{\kappa}_1 | \mathbf{k}_2, \boldsymbol{\kappa}_2) f[\boldsymbol{\rho}, \frac{1}{2}(\boldsymbol{\kappa}_1 + \boldsymbol{\kappa}_2)] \overline{G}(\mathbf{k}_1) \overline{G}^*(\mathbf{k}_2) \times \\
&\quad \times \exp i \left[-\mathbf{k}\cdot\mathbf{s} + \frac{1}{2}(\mathbf{k}_1 + \mathbf{k}_2)\cdot\mathbf{s} + (\mathbf{k}_1 - \mathbf{k}_2)\cdot\mathbf{r} - (\boldsymbol{\kappa}_1 - \boldsymbol{\kappa}_2)\cdot\boldsymbol{\rho} \right] \quad (3.48)
\end{aligned}$$

Les intégrations sur \mathbf{s} et sur la demi-somme $\mathbf{k} = \frac{1}{2}(\mathbf{k}_1 + \mathbf{k}_2)$ des vecteurs d'onde s'effectuent de la même façon qu'en (3.43) pour faire apparaître la fonction $\tilde{A}(\mathbf{q}; \mathbf{k})$ (3.45). Pour l'intégration sur $\boldsymbol{\kappa}_{1,2}$, passons à la mi-somme et la différence, et utilisons l'invariance par translation (3.38) de l'opérateur d'intensité. Nous trouvons ainsi l'expression assez compacte similaire à (3.46) (avec $\boldsymbol{\kappa} = \frac{1}{2}(\boldsymbol{\kappa}_1 + \boldsymbol{\kappa}_2)$) :

$$f_{\text{diff}}(\mathbf{r}, \mathbf{k}) = \int d\boldsymbol{\rho} \overline{d\boldsymbol{\kappa}} p_A(\mathbf{r} - \boldsymbol{\rho}; \mathbf{k}, \boldsymbol{\kappa}) f(\boldsymbol{\rho}, \boldsymbol{\kappa}) \quad (3.49)$$

où intervient une fonction d'atténuation différente qui ressemble plutôt à une fonction de phase (avec $\mathbf{q} = \mathbf{k}_1 - \mathbf{k}_2 = \boldsymbol{\kappa}_1 - \boldsymbol{\kappa}_2$) :

$$p_A(\mathbf{r} - \boldsymbol{\rho}; \mathbf{k}, \boldsymbol{\kappa}) = \int \tilde{\mathbf{d}}\mathbf{q} \exp[i\mathbf{q} \cdot (\mathbf{r} - \boldsymbol{\rho})] \tilde{A}(\mathbf{q}; \mathbf{k}) \tilde{K}\left(\mathbf{k} + \frac{1}{2}\mathbf{q}, \boldsymbol{\kappa} + \frac{1}{2}\mathbf{q} \mid \mathbf{k} - \frac{1}{2}\mathbf{q}, \boldsymbol{\kappa} - \frac{1}{2}\mathbf{q}\right) \quad (3.50)$$

Ce qui est remarquable, c'est que nous n'avons encore fait aucune approximation pour déduire ce résultat.

3.4.2 Comparaison à l'équation de transfert

Regardons d'abord ce que l'on a pu faire : l'équation de BETHE–SALPETER a été transformée en :

$$f(\mathbf{r}, \mathbf{k}) = \int d\boldsymbol{\rho} A(\mathbf{r} - \boldsymbol{\rho}; \mathbf{k}) f_\varrho(\boldsymbol{\rho}, \mathbf{k}) + \int d\boldsymbol{\rho} \tilde{\mathbf{d}}\boldsymbol{\kappa} p_A(\mathbf{r} - \boldsymbol{\rho}; \mathbf{k}, \boldsymbol{\kappa}) f(\boldsymbol{\rho}, \boldsymbol{\kappa}). \quad (3.51)$$

La distribution de WIGNER (rappelons qu'elle est équivalente à la luminance pour la lumière) contient un premier terme « cohérent » (3.46) qui correspond aux champ moyen rayonné par les sources dans le milieu. Le deuxième terme, l'intégrale (3.49), doit alors correspondre aux ondes diffusées par le milieu. Il a bien la structure d'une intégrale de diffusion, où intervient la fonction de WIGNER pour un vecteur d'onde $\boldsymbol{\kappa}$ différent. En effet, le vecteur d'onde $\boldsymbol{\kappa}$ peut très bien s'interpréter comme un « vecteur d'onde entrant » qui est diffusé vers le vecteur d'onde \mathbf{k} , avec une probabilité donnée par l'opérateur d'intensité.

Les intégrales sur $\boldsymbol{\rho}$ dans les deux termes de (3.51) ne sont pas si surprenantes qu'elles le semblent au premier abord, parce que nous sommes en train d'étudier une formulation intégrale, qu'il faut comparer à la version intégrale de l'équation du transfert radiatif. En utilisant la forme donnée par CHANDRASEKHAR ([Chandrasekhar], Chap. 1, éq.(50)) et en ajoutant la luminance $S(\mathbf{r}, \mathbf{n})$ des sources, la version intégrale de l'ETR s'écrit (I est la luminance) :

$$I(\mathbf{r}, \mathbf{n}) = \int_0^\infty ds e^{-s/\ell} S(\mathbf{r} - s\mathbf{n}, \mathbf{n}) + \int_0^\infty \frac{ds}{\ell} e^{-s/\ell} \int d\mathbf{n}' p(\mathbf{n}', \mathbf{n}) I(\mathbf{r} - s\mathbf{n}, \mathbf{n}') \quad (3.52)$$

où $\mathbf{r} - s\mathbf{n}$ est un point sur le rayon de direction \mathbf{n} à distance s du point d'observation. L'intégrale sur s exprime le fait que la luminance en \mathbf{r} est le produit de tous les événements de diffusion survenus aux positions antérieures à \mathbf{r} sur ce rayon et qui ont amené la lumière dans la direction \mathbf{n} . Par ailleurs, le premier terme dans (3.52) a bien la forme de la partie « cohérente » du champ, qui est atténuée par la diffusion sur une distance caractéristique égale au libre parcours moyen ℓ .

A la différence du transfert radiatif (3.52), l'intégrale sur $\boldsymbol{\rho}$ dans l'expression exacte (3.51) s'étend *a priori* sur tout l'espace. La fonction de WIGNER vérifie donc une équation de transport *non-locale*. Pour retrouver l'ETR standard (3.52) qui, elle, est

locale, c'est l'intégrale sur \mathbf{q} dans la fonction d'atténuation $A(\mathbf{r} - \boldsymbol{\rho}; \mathbf{k})$ (3.47) qui doit limiter l'intégrale sur $\boldsymbol{\rho}$ de sorte qu'elle ne porte plus que sur le rayon arrivant au point d'observation \mathbf{r} de la direction \mathbf{k} . Nous allons maintenant préciser les conditions pour qu'apparaisse une telle simplification.

3.4.3 Solution approchée à grandes distances

Astuce

Transformons d'abord le produit des deux dénominateurs dans (3.45) selon la formule suivante (évidente, mais astucieuse...)

$$\begin{aligned}\tilde{A}(\mathbf{q}; \mathbf{k}) &= \overline{G}(\mathbf{k} + \frac{1}{2}\mathbf{q})\overline{G}^*(\mathbf{k} - \frac{1}{2}\mathbf{q}) \\ &= \frac{1}{[k_0^2 - (\mathbf{k} + \frac{1}{2}\mathbf{q})^2 - m(\mathbf{k} + \frac{1}{2}\mathbf{q})][k_0^2 - (\mathbf{k} - \frac{1}{2}\mathbf{q})^2 - m^*(\mathbf{k} - \frac{1}{2}\mathbf{q})]} \\ &= \frac{\overline{G}(\mathbf{k} + \frac{1}{2}\mathbf{q}) - \overline{G}^*(\mathbf{k} - \frac{1}{2}\mathbf{q})}{2\mathbf{k} \cdot \mathbf{q} + m(\mathbf{k} + \frac{1}{2}\mathbf{q}) - m^*(\mathbf{k} - \frac{1}{2}\mathbf{q})}\end{aligned}\quad (3.53)$$

Cette expression est encore exacte. Si nous cherchons maintenant le comportement de la distribution de WIGNER à des échelles $|\mathbf{r} - \boldsymbol{\rho}|$ grandes par rapport à la longueur d'onde λ_{dB} , l'intégrale (3.47) montre que l'on peut se contenter des vecteurs d'onde \mathbf{q} très petits par rapport aux vecteurs d'onde atomiques $\mathbf{k}, \boldsymbol{\kappa}$. L'idée vient alors à l'esprit de faire un développement limité en fonction de \mathbf{q} . Nous allons le faire ici à l'ordre le plus bas ; l'on verra que l'on retrouve alors la forme (3.52) de l'équation du transfert radiatif. Au paragraphe 3.4.4 suivant, nous irons un ordre plus loin pour obtenir une première correction par rapport à l'équation de transfert.

A l'ordre le plus bas en \mathbf{q} , la formule (3.53) devient

$$\tilde{A}(\mathbf{q}; \mathbf{k}) \approx \frac{-2\pi i \delta(k^2 - \text{Re } k_{\text{eff}}^2)}{2\mathbf{k} \cdot \mathbf{q} - 2i \text{Im } k_{\text{eff}}^2}, \quad (3.54)$$

où nous avons utilisé le vecteur d'onde effectif (complexe) pour écrire le pôle du dénominateur :

$$m(\mathbf{k} \pm \frac{1}{2}\mathbf{q}) \approx m(\mathbf{k}) \approx k_0^2 - k_{\text{eff}}^2 \quad (3.55)$$

Nous avons également approximée la partie imaginaire de la fonction de GREEN moyennée (le terme au numérateur dans (3.53)) par une fonction δ . Celle-ci exprime le fait que le module des vecteurs d'onde atomiques finaux \mathbf{k} (après le processus de diffusion) est fixé par la relation de dispersion dans le milieu (la partie réelle du vecteur d'onde effectif k_{eff}). Cette approximation est justifiée dans le régime de faible diffusion où le libre parcours moyen est beaucoup plus grand que la longueur d'onde. Une telle situation correspond à l'image intuitive que l'on se fait de l'ETR. La limite opposée correspond à des ondes localisées dans le milieu aléatoire, un régime qui demande une description au-delà de l'ETR standard.

Retrouver l'ETR différentielle

En reportant (3.54) dans l'ETR et en négligeant le petit vecteur d'onde \mathbf{q} dans l'opérateur d'intensité, nous observons que l'ETR (3.51) se résoud facilement par une transformée de FOURIER par rapport à la position \mathbf{r} . Nous notons $\tilde{f}(\mathbf{q}, \mathbf{k})$ la fonction de WIGNER transformée, et elle vérifie l'équation suivante

$$\begin{aligned} & \left(i\mathbf{k} \cdot \mathbf{q} + \text{Im } k_{\text{eff}}^2 \right) \tilde{f}(\mathbf{q}, \mathbf{k}) = \\ & \pi \delta(k^2 - \text{Re } k_{\text{eff}}^2) \left(\tilde{f}_\rho(\mathbf{q}, \mathbf{k}) + \int \tilde{d}\boldsymbol{\kappa} \tilde{K}(\mathbf{k}, \boldsymbol{\kappa} | \mathbf{k}, \boldsymbol{\kappa}) \tilde{f}(\mathbf{q}, \boldsymbol{\kappa}) \right) \end{aligned} \quad (3.56)$$

En revenant dans l'espace directe, nous trouvons donc la forme différentielle de l'ETR, dont le libre parcours moyen et la fonction de phase sont donnés par

$$\frac{1}{\ell} = \frac{\text{Im } k_{\text{eff}}^2}{k_p} = -\frac{\text{Im } m(k_p)}{k_p} \quad (3.57)$$

$$p(\mathbf{u}, \mathbf{u}') = \frac{1}{(4\pi k_p)^2} \tilde{K}(k_p \mathbf{u}, k_p \mathbf{u}' | k_p \mathbf{u}, k_p \mathbf{u}') \quad (3.58)$$

$$k_p = (\text{Re } k_{\text{eff}}^2)^{1/2} \quad (3.59)$$

Nous avons donc trouvé ici des expressions microscopiques pour les paramètres qui interviennent dans l'ETR. Des formules identiques ont été écrites par BARABANENKOV et FINKEL'BERG (eq. (22) de [Barabanenkov67]), mais en utilisant une forme approchée pour les opérateurs de masse et d'intensité (approximation de BOURRET). La démarche présentée ici montre que ces expressions restent valables dans un contexte plus général, à condition que les ondes ne soient pas localisées dans le milieu. La seule différence par rapport aux résultats de BARABANENKOV et FINKEL'BERG est l'apparition du vecteur d'onde k_p qui décrit l'indice de réfraction du milieu aléatoire. A la limite perturbative, il faut en effet prendre $k_p = k_0$ pour être consistant avec la conservation de l'énergie (l'identité de WARD, voir [vanTiggelen96]).

Retrouver l'ETR intégrale

Nous pouvons également retrouver la formulation intégrale de l'ETR donnée en (3.52). A cet effet, nous calculons l'intégrale sur \mathbf{q} dans (3.51) dans l'approximation (3.54) pour la fonction d'atténuation $\tilde{A}(\mathbf{q}; \mathbf{k})$. L'intégrale a d'ailleurs été calculée au chapitre précédent (voir la note 3 en bas de la page 23) :

$$\begin{aligned} & \int \tilde{d}\mathbf{q} \frac{\exp i\mathbf{q} \cdot (\mathbf{r} - \boldsymbol{\rho})}{2\mathbf{k} \cdot \mathbf{q} - 2i \text{Im } k_{\text{eff}}^2} = \\ & = \begin{cases} (i/2k) \delta(\mathbf{r}_\perp - \boldsymbol{\rho}_\perp) \exp[-(\text{Im } k_{\text{eff}}^2/k^2) \mathbf{k} \cdot (\mathbf{r} - \boldsymbol{\rho})], \\ \quad \text{lorsque } \mathbf{k} \cdot (\mathbf{r} - \boldsymbol{\rho}) > 0; \\ 0, \quad \text{lorsque } \mathbf{k} \cdot (\mathbf{r} - \boldsymbol{\rho}) < 0. \end{cases} \end{aligned} \quad (3.60)$$

(L'indice « \perp » fait référence au vecteur \mathbf{k} .) Nous en concluons que l'intégrale sur $\boldsymbol{\rho}$ ne porte en fait que sur un demi-rayon qui aboutit au point d'observation \mathbf{r} en se propageant le long de la direction \mathbf{k} . Le long de ce rayon, l'intensité du champ est atténuée avec une longueur caractéristique

$$\ell = \frac{k}{\text{Im } k_{\text{eff}}^2} \quad (3.61)$$

ce qui correspond bien à l'atténuation du champ cohérent par diffusion. Le terme cohérent s'écrit donc comme une intégrale sur les sources « interceptées » le long de ce rayon, qui rayonnent dans la direction $\hat{\mathbf{k}}$:

$$f_{\text{coh}}(\mathbf{r}, \mathbf{k}) = \frac{\pi}{k} \delta(k^2 - \text{Re } k_{\text{eff}}^2) \int_0^\infty ds' e^{-s'/\ell} f_{\varrho}(\mathbf{r} - s'\hat{\mathbf{k}}, \mathbf{k}) \quad (3.62)$$

Nous retrouvons ici le premier terme de l'équation du transfert radiatif de CHANDRASEKHAR (3.52). La fonction δ assure que les seuls vecteurs d'onde de la source qui rayonnent sont ceux qui correspondent à la relation de dispersion dans le milieu aléatoire. (Rappelons encore que la source $\varrho(\mathbf{r})$ dans (3.31) et (3.62) n'a pas la même dimension que le champ, ceci est à l'origine du préfacteur.)

Quant au deuxième terme de (3.52), qui décrit la diffusion, nous remarquons qu'à l'ordre le plus bas, l'opérateur d'intensité dans (3.50) ne dépend pas du vecteur d'onde \mathbf{q} :

$$\tilde{K}\left(\mathbf{k} + \frac{1}{2}\mathbf{q}, \boldsymbol{\kappa} + \frac{1}{2}\mathbf{q} \mid \mathbf{k} - \frac{1}{2}\mathbf{q}, \boldsymbol{\kappa} - \frac{1}{2}\mathbf{q}\right) \approx \tilde{K}(\mathbf{k}, \boldsymbol{\kappa} \mid \mathbf{k}, \boldsymbol{\kappa}) \quad (3.63)$$

On peut alors le sortir des intégrales sur \mathbf{q} et $\boldsymbol{\rho}$ et définir une fonction de phase locale comme suit (attention, sa normalisation est différente de (3.58))

$$\begin{aligned} p_A(\mathbf{r} - \boldsymbol{\rho}; \mathbf{k}, \boldsymbol{\kappa}) &= A(\mathbf{r} - \boldsymbol{\rho}; \mathbf{k}) p(\mathbf{k}, \boldsymbol{\kappa}) \\ p(\mathbf{k}, \boldsymbol{\kappa}) &= \frac{\pi}{k} \delta(k^2 - \text{Re } k_{\text{eff}}^2) \tilde{K}(\mathbf{k}, \boldsymbol{\kappa} \mid \mathbf{k}, \boldsymbol{\kappa}). \end{aligned} \quad (3.64)$$

En utilisant le résultat (3.60) pour la fonction d'atténuation $A(\mathbf{r} - \boldsymbol{\rho}; \mathbf{k})$, le terme de diffusion (3.49) prend donc la forme

$$f_{\text{diff}}(\mathbf{r}, \mathbf{k}) = \int_0^\infty ds' e^{-s'/\ell} \int \mathfrak{d}\boldsymbol{\kappa} p(\mathbf{k}, \boldsymbol{\kappa}) f(\mathbf{r} - s'\hat{\mathbf{k}}, \boldsymbol{\kappa}) \quad (3.65)$$

Puisque la relations de dispersion fixe le module du vecteur d'onde $\boldsymbol{\kappa}$, le terme de diffusion est exactement celui donné par CHANDRASEKHAR en (3.52). (La fonction de phase (3.64) n'est pas normalisée de la même façon que celle de CHANDRASEKHAR, ceci explique la différence entre les préfacteurs.)

Nous constatons donc qu'aux grandes échelles spatiales, le transport de la distribution de WIGNER des atomes (ou du champ électro-magnétique) est régi par une équation de transport radiatif. Ceci est vrai quelle que soit la force du potentiel aléatoire. Pour un potentiel faible, l'approximation de BOURRET (3.34) de l'opérateur

d'intensité montre que la fonction de phase est proportionnelle à la densité spectrale du potentiel aléatoire

$$\begin{aligned} \text{BOURRET : } \quad \tilde{K}\left(\mathbf{k} + \frac{1}{2}\mathbf{q}, \boldsymbol{\kappa} + \frac{1}{2}\mathbf{q} \mid \mathbf{k} - \frac{1}{2}\mathbf{q}, \boldsymbol{\kappa} - \frac{1}{2}\mathbf{q}\right) = \\ = \epsilon^2 k_0^4 g(\mathbf{k} - \boldsymbol{\kappa}) = \frac{4M^2}{\hbar^4} S(\mathbf{k} - \boldsymbol{\kappa}) \end{aligned} \quad (3.66)$$

Nous retrouvons alors l'approche de RYZHIK *et al.*, ainsi que l'idée que s'est faite LUCK de l'équation de transfert. La démonstration que nous venons de donner de cette équation montre cependant qu'elle est également valable pour des potentiels plus forts où l'approximation de BOURRET n'est plus possible.

Conclusion

Nous avons constaté qu'aux grandes échelles spatiales, la théorie de la diffusion multiple des ondes prend la forme d'une équation du transfert radiatif. Ce résultat repose seulement sur l'hypothèse d'un milieu invariant par translation et de la diffusion faible (libre parcours moyen beaucoup plus grand que la longueur d'onde). Dans ce régime, la transformée de WIGNER de la fonction de corrélation décrit la luminance du champ, et elle vérifie une ETR (3.56) dont les paramètres macroscopique s'expriment à l'aide des opérateurs de masse et d'intensité.

Nous avons obtenu l'ETR ainsi généralisée par un développement à l'ordre le plus bas par rapport au vecteur d'onde \mathbf{q} , la variable conjuguée au profil spatial en \mathbf{r} de la luminance. Cette procédure (la « limite de KUBO » [vanTiggelen96]) traduit formellement la limite d'une « grande échelle spatiale ». Au paragraphe suivant, nous allons pousser le développement jusqu'au second ordre en \mathbf{q} , afin de préciser l'échelle spatiale minimale au-delà de laquelle l'équation du transfert radiatif est justifiée.

3.4.4 Echelle spatiale minimale pour l'équation du transfert radiatif

Dans le calcul de la fonction de WIGNER du champ aux grandes distances, nous avons pour l'instant seulement retenu les termes à l'ordre le plus bas en \mathbf{q} . Nous allons ici aller plus loin et analyser les termes de l'ordre suivant pour trouver une limite supérieure q_{\max} à ce développement. Dans l'espace réel, la valeur q_{\max} se traduit par une échelle spatiale minimale $L_{\min} = 1/q_{\max}$, avec la signification physique la suivante : il faut que la fonction de WIGNER du champ, en fonction de la position \mathbf{r} , varie peu à l'échelle L_{\min} pour que l'équation du transfert radiatif soit valable.

Nous allons nous contenter d'étudier la dépendance de \mathbf{q} de la fonction d'atténuation $\tilde{A}(\mathbf{q}; \mathbf{k})$ (3.47). Quant à la variation de l'opérateur d'intensité \tilde{K} (3.63) avec \mathbf{q} , l'on en trouve une discussion dans l'article de revue de KRAVTSOV et APRESYAN (§ 6.1 de [Kravtsov96]) : elle peut être reliée à l'effet de mémoire de la figure de tavelures lorsque l'on fait varier la direction d'incidence du faisceau. Nous notons également

que pour un potentiel aléatoire faible (approximation de BOURRET), la formule (3.66) montre que \tilde{K} est indépendant de \mathbf{q} . Un moyen d'apprécier sa dépendance de \mathbf{q} est alors de calculer des termes supérieurs (3.35) qui vont au-delà de l'approximation de BOURRET.

Poussons donc le développement de la fonction d'atténuation $\tilde{A}(\mathbf{q}; \mathbf{k})$ jusqu'à l'ordre quadratique. Nous allons négliger la variation avec \mathbf{q} de la différence des fonctions de GREEN

$$\overline{G}(\mathbf{k} + \frac{1}{2}\mathbf{q}) - \overline{G}^*(\mathbf{k} - \frac{1}{2}\mathbf{q}) \approx -2\pi i \delta(k^2 - \text{Re } k_{\text{eff}}^2)$$

et seulement analyser le dénominateur dans (3.53) qui présente un pôle en \mathbf{q} . A l'ordre quadratique, celui-ci devient :

$$\begin{aligned} 2\mathbf{k} \cdot \mathbf{q} + m(\mathbf{k} + \frac{1}{2}\mathbf{q}) - m^*(\mathbf{k} - \frac{1}{2}\mathbf{q}) \approx \\ 2\mathbf{k} \cdot \mathbf{q} - 2i \text{Im } k_{\text{eff}}^2 + \mathbf{q} \cdot \text{Re } \nabla_{\mathbf{k}} m + \frac{i}{4} \sum_{ij} q_i q_j \text{Im } \frac{\partial^2 m}{\partial k_i \partial k_j} \end{aligned} \quad (3.67)$$

Les dérivées de l'opérateur de masse $m(\mathbf{k})$ sont prises ici pour \mathbf{k} vérifiant la relation de dispersion. Pour continuer le calcul, nous allons faire l'hypothèse supplémentaire suivante :

- le milieu aléatoire est statistiquement isotrope. La relation de dispersion s'écrit alors $k = k_{\text{eff}}$ et l'opérateur de masse $m(\mathbf{k})$ dépend seulement du module k du vecteur d'onde \mathbf{k} .

Par exemple, le milieu à fonction de corrélation gaussienne dont nous avons donné l'opérateur de masse en (3.26), est isotrope. Par conséquent, les dérivées de l'opérateur de masse se simplifient :

$$\begin{aligned} \nabla_{\mathbf{k}} m &= \hat{\mathbf{k}} \frac{dm}{dk} \\ \frac{\partial^2 m}{\partial k_i \partial k_j} &= \delta_{ij} \left(\frac{1}{k} \frac{dm}{dk} \right) + \hat{k}_i \hat{k}_j \left(\frac{d^2 m}{dk^2} - \frac{1}{k} \frac{dm}{dk} \right) \end{aligned} \quad (3.68)$$

Le dénominateur (3.67) peut alors être écrit sous la forme suivante :

$$2\mathbf{k} \cdot \mathbf{q} + m(\mathbf{k} + \frac{1}{2}\mathbf{q}) - m^*(\mathbf{k} - \frac{1}{2}\mathbf{q}) \approx 2\mathbf{k}' \cdot \mathbf{q} - i\gamma + i\alpha \mathbf{q}^2 - i\beta (\mathbf{k} \cdot \mathbf{q})^2 \quad (3.69)$$

$$\mathbf{k}' = \mathbf{k} \left(1 + \frac{1}{2k} \text{Re } \frac{dm}{dk} \right) \quad (3.70)$$

$$\gamma = -2 \text{Im } m(k_{\text{eff}}) = 2 \text{Im } k_{\text{eff}}^2 \quad (3.71)$$

$$\alpha = \text{Im} \left(\frac{1}{4k} \frac{dm}{dk} \right) \quad (3.72)$$

$$\beta = \frac{1}{4k^2} \text{Im} \left(\frac{1}{k} \frac{dm}{dk} - \frac{d^2 m}{dk^2} \right) \quad (3.73)$$

La dérivée première de l'opérateur de masse change donc simplement le module du vecteur d'onde $\mathbf{k} \mapsto \mathbf{k}'$. La dérivée seconde ajoute des termes quadratiques en \mathbf{q} .

Avant de continuer le calcul, donnons une estimation jusqu'à quel vecteur d'onde maximal ce développement est justifié. La figure 3.1 et l'expression (3.26) montrent que l'opérateur de masse $m(\mathbf{k})$ varie sur une échelle caractéristique de $1/\ell_c$ en fonction de k . Nous trouvons donc la condition de validité

$$|\mathbf{q}| \lesssim \frac{1}{\ell_c} \quad (3.74)$$

Dans l'espace réel, cette condition traduit le fait que dans le formalisme du transfert radiatif, la luminance ne résout pas la structure microscopique (longueur de corrélation) du milieu diffusant.

Calcul de la fonction d'atténuation

Nous avons donc l'intégrale suivante à calculer :

$$\begin{aligned} & \int \mathfrak{d}\mathbf{q} \frac{\exp i\mathbf{q} \cdot \mathbf{r}}{2\mathbf{k}' \cdot \mathbf{q} - i\gamma + i\alpha\mathbf{q}^2 - i\beta(\mathbf{k} \cdot \mathbf{q})^2} \\ &= \int \mathfrak{d}\mathbf{Q} \mathfrak{d}q \frac{\exp i(\mathbf{Q} \cdot \mathbf{R} + qz)}{2k'q - i\gamma + i\alpha Q^2 + i(\alpha - \beta k^2)q^2}. \end{aligned} \quad (3.75)$$

Nous avons décomposé les vecteurs \mathbf{q} et \mathbf{r} en composantes (\mathbf{Q}, q) , (\mathbf{R}, z) perpendiculaires et parallèles au vecteur \mathbf{k}' . La coordonnée z mesure donc la distance du point d'observation d'un point source situé sur le rayon qui arrive de la direction $\hat{\mathbf{k}}$ au point d'observation.

Il se trouve que l'on peut discuter de façon analytique le comportement de l'intégrale (3.75). Nous prenons d'abord l'intégration sur la composante longitudinale q , en utilisant le théorème des résidus (nous avons abrégé $\bar{\gamma} = \gamma - \alpha Q^2$, $\bar{\alpha} = \alpha - \beta k^2$) :

$$\int \mathfrak{d}q \frac{\exp i q z}{2k'q - i\bar{\gamma} + i\bar{\alpha}q^2} = \frac{\text{sgn } z}{\bar{\alpha}(q_1 - q_2)} \left[\Theta(z \text{Im } q_1) e^{iq_1 z} - \Theta(z \text{Im } q_2) e^{iq_2 z} \right] \quad (3.76)$$

où $\Theta(z)$ est la fonction de marche d'escalier et les deux quantités imaginaires $q_{1,2}$ sont les solutions d'une équation quadratique

$$\begin{aligned} 2k'q - i\bar{\gamma} + i\bar{\alpha}q^2 &= 0 \\ q_{1,2} &= \frac{ik'}{\bar{\alpha}} \left(1 \mp \sqrt{1 - \frac{\bar{\gamma}\bar{\alpha}}{k'^2}} \right) \end{aligned} \quad (3.77)$$

(Les signes sont choisis tels que $|q_1| < |q_2|$.)

Pour interpréter et simplifier ce résultat, supposons que le potentiel aléatoire est faible (approximation de BOURRET). L'opérateur de masse $m(\mathbf{k})$ est alors petit par rapport à k_0^2 , et le vecteur d'onde effectif $k_{\text{eff}} = k_p + i/2\ell$ diffère peu du vecteur d'onde dans le vide. Par conséquent, nous avons

$$|\gamma| = |-2 \text{Im } m(k_{\text{eff}})| \ll k^2 \simeq k'^2, \quad |\alpha|, |\bar{\alpha}| \ll 1, \quad (3.78)$$

et nous pouvons développer la racine carré dans (3.77) pour trouver :

$$q_1 \approx \frac{i\bar{\gamma}}{2k'} \quad q_2 \approx \frac{2ik'}{\bar{\alpha}} \quad (3.79)$$

Le premier terme dans (3.76) qui correspond à la racine q_1 , représente donc une atténuation exponentielle le long de la direction du vecteur \mathbf{k}

$$\text{sgn } q_1 \Theta(z \text{Im } q_1) e^{iq_1 z} \approx \text{sgn } \bar{\gamma} \Theta(z\bar{\gamma}) e^{-z/\ell'}, \quad \frac{1}{\ell'} = \frac{\gamma}{2k'} = \frac{\text{Im } k_{\text{eff}}^2}{k'} \text{ pour } \mathbf{Q} = \mathbf{0}. \quad (3.80)$$

Le libre parcours moyen qui apparaît ici est modifié par rapport au résultat (3.61) parce que $k' \neq k$, à cause du terme proportionnel à $\nabla_k m$ dans (3.70).

La deuxième racine q_2 donne dans cette approximation

$$\Theta(\bar{\alpha}z) e^{iq_2 z} \approx \Theta(\bar{\alpha}z) e^{-|z|/\ell_2}, \quad \ell_2 = \frac{|\bar{\alpha}|}{2k'} \quad (3.81)$$

elle correspond donc à une atténuation très rapide, sur une échelle en dessous de la longueur d'onde dans le milieu. En outre, suivant le signe de la quantité $\bar{\alpha}$, l'expression (3.81) est non nulle pour des distances z positives ou négatives, donc pour des sources en amont ou en aval du point d'observation. Dans l'approximation de BOURRET, l'on s'attend à

$$\bar{\alpha} = \frac{1}{4} \text{Im} \frac{d^2 m}{dk^2} > 0$$

parce que la partie imaginaire de l'opérateur de masse (reliée au libre parcours moyen) présente un minimum autour de $k \approx k_0$ (voir la figure 3.1). L'expression (3.81) porte alors sur les positions z positives (des sources en amont du point d'observation).

Il est justifié de négliger cette deuxième contribution à la fonction d'atténuation. Nous cherchons en effet la portée la plus grande en fonction de la distance du point d'observation, et la première racine donne une portée beaucoup plus grande que la deuxième.⁹ Si nous nous plaçons à une échelle spatiale plus grande que la longueur d'onde, nous pouvons donc négliger la contribution de la racine q_2 . Le résultat de l'intégrale (3.76) sur le vecteur d'onde longitudinal q est alors :

$$\int \mathfrak{d}q \frac{\exp iqz}{2k'q - i\gamma + i\alpha Q^2 + i\bar{\alpha}q^2} = \frac{2ik' \text{sgn } z \Theta[z(\gamma - \alpha Q^2)]}{4k'^2 - \bar{\alpha}(\gamma - \alpha Q^2)} \exp[-(\gamma - \alpha Q^2)z/2k'] \quad (3.82)$$

où nous avons ré-exprimé $\bar{\gamma}$ en fonction de \mathbf{Q} . Nous notons que la fonction Θ assure que l'exponentielle est toujours décroissante en fonction de $|z|$.

⁹Nous notons aussi que RYTOV a calculé la fonction de GREEN moyenne par une technique analogue (éq. (4.54) de [Rytov]). Il trouve également deux contributions, dont l'une s'atténue à l'échelle du libre parcours moyen et l'autre a une portée de l'ordre de la longueur de corrélation ℓ_c . Il néglige ensuite cette dernière contribution, en se plaçant à une échelle spatiale plus grande que ℓ_c .

Il reste maintenant à effectuer l'intégration sur le vecteur d'onde transverse \mathbf{Q} . L'intégrale prend la forme suivante :

$$2ik' \operatorname{sgn} z \int \mathbf{d}\mathbf{Q} \frac{\Theta[z(\gamma - \alpha Q^2)] e^{i\mathbf{Q}\cdot\mathbf{R}}}{4k'^2 - \bar{\alpha}(\gamma - \alpha Q^2)} \exp[-(\gamma - \alpha Q^2)z/2k'] \quad (3.83)$$

Il convient de distinguer entre les cas $z > 0$ et $z < 0$ (positions sur le rayon lumineux antérieures et postérieures au point d'observation).

Le cas « causal » $z > 0$. Le module du vecteur d'onde \mathbf{Q} est limité à l'intervalle $0 \leq Q \leq (\gamma/\alpha)^{1/2}$. Nous effectuons l'intégration sur l'angle azimuthal du vecteur \mathbf{Q} . En utilisant une nouvelle variable d'intégration, l'intégrale s'écrit

$$\frac{i}{8\pi k'} \int_0^{\gamma/\alpha} ds J_0(\sqrt{\gamma/\alpha - sR}) e^{-\alpha s z/2k'}, \quad s = \gamma/\alpha - Q^2 \quad (3.84)$$

Nous avons également négligé le terme proportionnel à $\bar{\alpha}\alpha Q^2$ au dénominateur de (3.83). Comme Q^2 est limité par γ/α , ce terme est petit par rapport à k'^2 en vertu de l'hypothèse (3.78) que nous avons déjà utilisée ci-dessus (pour calculer $q_{1,2}$).

Il est facile maintenant de déterminer l'échelle caractéristique pour la distance transverse R . A partir de l'argument de la fonction de BESSEL J_0 , nous obtenons :

$$\delta R \simeq \sqrt{\frac{\alpha}{\gamma}} \sim \sqrt{\frac{\ell_c/\ell}{2k'/\ell}} \simeq \sqrt{\frac{1}{2}\ell_c \bar{\lambda}} \quad (3.85)$$

(Nous avons utilisé l'échelle de variation $1/\ell_c$ de l'opérateur de masse pour estimer $\alpha \sim \ell_c(k_0/\ell)/k_0 = \ell_c/\ell$.) Avant de donner une interprétation physique de ce résultat, étudions le deuxième cas.

Le cas « acausal » $z < 0$. Le nom « acausal » provient du fait, rappelons-le, que les positions $z < 0$ se trouvent en amont du point d'observation : elles décrivent donc l'influence sur la luminance du milieu que le rayon n'a pas encore traversé d'un point de vue géométrique.

L'intégrale (3.83) porte maintenant sur les vecteurs d'onde $(\gamma/\alpha)^{1/2} \leq Q \leq \infty$. Avec un changement de variables similaire, elle prend la forme

$$-\frac{i}{8\pi k'} \int_0^{\infty} ds J_0(\sqrt{\gamma/\alpha + sR}) e^{-\alpha s |z|/2k'}, \quad s = Q^2 - \gamma/\alpha \quad (3.86)$$

Nous avons encore négligé la contribution en Q^2 dans le dénominateur. Sur les distances qui contribuent à l'intégrale ($\alpha s |z|/2k' \sim 1$), elle est négligeable si $z \gg \bar{\alpha}/2k'$. Puisque cette distance est bien en-dessous de la longueur d'onde, cette approximation est justifiée aux grandes échelles qui nous intéressent ici.

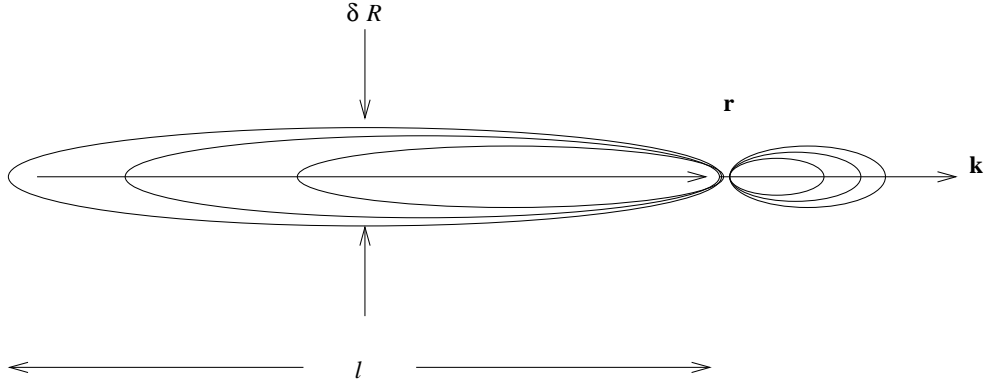


FIG. 3.2 – Représentation de la fonction de phase nonlocale. Les processus de diffusion à l'intérieur des ellipses à la luminance au point d'observation r . Les ellipses représentent leur poids respectif par des courbes de niveaux. Elles sont étirées autour du rayon arrivant au point r dans la direction d'observation k . La partie « en amont » donne également une contribution.

Pour l'échelle transverse δR , nous trouvons alors deux limites suivant la distance $|z|$ du point d'observation :

$$\delta R \simeq \begin{cases} \sqrt{\alpha/\gamma} \simeq \sqrt{\frac{1}{2}\ell_c\lambda} & \text{pour } z \gg \ell, \\ \sqrt{\alpha|z|/2k'} \simeq \sqrt{\frac{1}{2}\ell_c\lambda(|z|/\ell)} & \text{pour } z \ll \ell. \end{cases} \quad (3.87)$$

Discussion

Nous constatons qu'en un point d'observation r donné, la luminance est la somme des processus de diffusion qui ont amené de la lumière dans la direction d'observation k et qui ont eu lieu dans un « lobe » autour du rayon géométrique de direction k qui aboutit à r . Ce ne sont plus des processus de diffusion qui ont eu lieu exactement sur le rayon qui contribuent à la luminance observée : le terme de transfert radiatif est devenu non-local. La largeur transverse des « lobes » est de l'ordre de $\delta R \simeq (\ell_c\lambda)^{1/2}$. En outre, une contribution non nulle de la luminance provient de positions « acausales » sur le rayon et en aval du point d'observation. La situation est illustrée sur la figure 3.2 par des courbes de niveaux.

Nous constatons que la longueur de non-localité transverse est égale à la taille de la zone de FRESNEL lorsque l'on observe une source ponctuelle de longueur d'onde λ à la distance ℓ_c de la longueur de corrélation. La non-localité de l'ETR que nous mettons ici en évidence est donc liée à la diffraction dans le champ intermédiaire (diffraction de FRESNEL par rapport à celle de FRAUNHOFER dans le champ lointain). En outre, l'échelle δR suggère que la déviation par rapport à l'ETR locale est due à la diffusion récursive entre deux diffuseurs qui sont placés à l'intérieur d'un rayon de corrélation et qui s'éclairent mutuellement par leurs champs proches et intermédiaires. C'est

en effet une des prédictions de LAGENDIJK et VAN TIGGELEN pour les phénomènes physiques au-delà de l'ETR standard [vanTiggelen96].

Notre calcul permet d'obtenir encore un autre résultat curieux qui concerne le comportement à grande distance $|z| \gg \ell$ de la fonction d'atténuation. Dans cette limite, nous pouvons calculer les intégrales sur s (3.84, 3.86) de façon approchée. Leurs contributions dominantes proviennent en effet de la région $s \rightarrow 0$, de sorte que nous obtenons, pour le cas causal par exemple,

$$\frac{i}{8\pi k'} \int_0^{\gamma/\alpha} ds J_0(\sqrt{\gamma/\alpha} R) e^{-\alpha s z/2k'} = \frac{i J_0(R/\delta R)}{4\pi\alpha} \frac{1}{z} \quad (3.88)$$

Si nous pouvons résoudre l'échelle transverse δR , la fonction d'atténuation est donc de longue portée, avec une décroissance en $1/z$. Nous n'avons pas encore trouvé d'interprétation physique simple de ce résultat. Il est d'autant plus surprenant que l'on trouve un comportement analogue pour le cas « acausal ».

Il est cependant évident que ce résultat est dû aux vecteurs d'onde transverses $Q^2 \simeq \gamma/\alpha$, qui s'accompagnent d'une décroissance très lente de la fonction d'atténuation en fonction de $|z|$ (voir (3.83)). L'on peut alors revenir à la condition (3.74) sur les vecteurs d'onde ($Q \leq |q| \lesssim 1/\ell_c$) et se demander si elle est encore vérifiée pour la situation que nous envisageons ici. En imposant $(\gamma/\alpha)^{1/2} \lesssim 1/\ell_c$ et en utilisant l'estimation pour α donnée ci-dessus, nous trouvons la condition suivante :

$$\ell_c \lesssim \lambda \quad (3.89)$$

Nos conclusions sont donc seulement valables lorsque la longueur de corrélation est plus petite que la longueur d'onde. Ceci n'est pas très étonnant parce que c'est seulement dans ce régime que la longueur de non-localité δR est plus grande que la longueur de corrélation (sur laquelle il faut toujours moyenner dans une théorie statistique de transport). Ce régime apparaît fréquemment dans le domaine optique lors de la diffusion par des très petites particules. Il est par contre plus difficile à réaliser avec les atomes.

Les atomes se trouvent généralement dans le régime opposé où la longueur d'onde est petite par rapport à la longueur de corrélation du milieu aléatoire (régime semi-classique). Dans ce régime, l'on n'a pas le droit d'étendre le domaine d'intégration à des vecteurs d'onde plus grand que $1/\ell_c$. En limitant les intégrales sur \mathbf{Q} à cet intervalle, c'est alors la longueur de corrélation qui donne l'échelle spatiale minimale pour l'ETR :

$$\text{régime semi-classique : } \delta R \simeq \ell_c \quad (3.90)$$

En outre, la fonction d'atténuation ne contient qu'une partie causale, avec une portée longitudinale donnée par le libre parcours moyen ℓ .

Conclusion

L'équation du transfert radiatif est valable lorsque la luminance varie lentement à l'échelle d'une longueur de FRESNEL, définie par la longueur d'onde et la longueur de

corrélation. Les déviations par rapport à l'ETR proviennent alors de la diffusion récurren-
 te de la lumière par des diffuseurs qui s'éclairement mutuellement par leurs champs
 proche et intermédiaire. Cette description suppose des diffuseurs petits par rapport à
 la longueur d'onde. Dans la limite opposée (régime semi-classique), la longueur min-
 imale pour l'ETR est donnée par la longueur de corrélation.

Nous avons obtenu ce résultat en calculant une correction à l'équation du transfert
 lorsque l'on se rapproche des échelles spatiales plus courtes. Ce calcul met en outre
 en évidence une correction au libre parcours moyen qui fait intervenir la dérivée de
 l'opérateur de masse (le passage de k à k' dans (3.70)). Cette correction est probable-
 ment liée à la vitesse de transport du champ dans le milieu qui n'est donnée ni par
 la vitesse de groupe ni celle de phase [vanTiggelen96]. Elle apparaît encore plus net-
 tement dans une approche au transport dépendante du temps, que nous n'avons pas
 suivie ici.

Relation de dispersion non-triviale. Pour finir, une question d'ordre expérimental :
 comment est-ce possible que l'opérateur de masse présente une variation importante
 avec le vecteur d'onde \mathbf{k} ? L'on aurait alors une vitesse de transport k' très différente
 de celle de propagation libre, ainsi qu'un libre parcours moyen ℓ' fortement corrigé.
 On peut espérer que tel est le cas dans les solides où la relation de dispersion présente
 des fortes déviations par rapport à l'espace libre, notamment aux bords de la zone de
 BRILLUOIN (aux bords des bandes permises). Une autre voie peut être ouverte par
 des particules diffuseurs avec une « structure interne », des billes diélectriques avec un
 noyau creux, par exemple. En effet, la fonction de corrélation de la constante diélec-
 trique $g(r)$ va alors retracer, à courte distance, le profil de l'indice des billes, et ceci se
 traduira par une variation importante de l'opérateur de masse avec le vecteur d'onde.
 Ce dernier est en effet donné, dans l'approximation de BOURRET et pour des corréla-
 tion isotropes, par

$$m(\mathbf{k}) = \frac{ik_0^4}{2k} \int_0^\infty dr g(r) \left(e^{i(k_0+k)r} - e^{i(k_0-k)r} \right)$$

ce qui revient essentiellement à la transformée de FOURIER du profil d'indice radial.
 D'un point de vue expérimental, l'on pourrait donc faire varier la structure interne des
 billes pour observer un comportement différent du libre parcours moyen. Malheureusement,
 ceci est une variable qui a également une influence sur d'autres quantités (le con-
 traste diélectrique total, moyenné sur la bille, par exemple). Une astuce peut éviter cet
 inconvénient : se placer dans une géométrie en deux dimensions où le vecteur d'onde
 est fixé par la projection sur le plan de symétrie. En choisissant l'angle d'incidence, l'on
 peut alors faire varier le vecteur d'onde sans changer la fréquence.

Il reste à évaluer quel contraste diélectrique et quelle concentration de diffuseurs
 sont nécessaires pour que l'effet soit observable. En première approche, l'on peut en-
 visager d'utiliser l'approximation de BOURRET à cet effet.

3.5 Réciprocité et rétro-diffusion exaltée

Pour finir, nous voudrions étudier la conséquence de la réciprocité de la diffusion pour l'équation de BETHE–SALPETER dans la présente formulation. Sans en donner une justification précise, la réciprocité exprime que les deux processus de diffusion suivants ont la même amplitude de diffusion :

$$\kappa \rightarrow \mathbf{k} \quad \text{et} \quad -\mathbf{k} \rightarrow -\kappa$$

parce qu'ils s'obtiennent l'un de l'autre par un simple renversement du temps. Cette invariance existe pour notre théorie scalaire, elle n'existe plus pour la diffusion électromagnétique en présence d'un champ magnétique, par exemple. Si les deux processus ont la même amplitude, ceci reste vrai aussi après la moyenne sur le potentiel aléatoire. Par conséquent, l'on s'attend à une intensité augmentée (par interférence constructive) dans ces directions.

En comparant aux arguments de l'opérateur d'intensité dans (3.50), nous constatons qu'il correspond à la corrélation entre deux processus réciproques (donc de même amplitude) lorsque nous avons

$$\left. \begin{aligned} \mathbf{k} + \frac{1}{2}\mathbf{q} &= -(\kappa - \frac{1}{2}\mathbf{q}) \\ \kappa + \frac{1}{2}\mathbf{q} &= -(\mathbf{k} - \frac{1}{2}\mathbf{q}) \end{aligned} \right\} \implies \mathbf{k} = -\kappa. \quad (3.91)$$

C'est donc le cas pour la diffusion vers l'arrière. Dans l'approximation de BOURRET, l'opérateur d'intensité prend la forme (3.66) et la probabilité relative de diffusion vers l'arrière et vers l'avant est donnée par

$$\frac{\text{arrière}}{\text{avant}} = \frac{S(2k)}{S(0)}$$

($S(k)$ est la densité spectrale du potentiel aléatoire, supposée isotrope ici.) Cette probabilité est faible lorsque la longueur d'onde est petite par rapport à la longueur de corrélation. En outre, elle ne présente pas de trace particulière d'un effet d'interférence dans la direction arrière. Ceci est dû au fait que l'approximation de BOURRET ne prend en compte que les processus de simple diffusion. Par contre, si l'on utilise une expression pour l'opérateur d'intensité qui aille au-delà de l'approximation de BOURRET, l'on peut très bien décrire la rétro-diffusion exaltée dans le formalisme de l'équation du transfert radiatif. La bonne nouvelle est qu'il suffit d'inclure une série certes infinie de diagrammes (les *maximally crossed diagrams*), mais que leur calcul nécessite pas, dans la pratique, d'aller au-delà de l'approximation de BOURRET : l'on s'en sort donc en « améliorant le formalisme ». Nous renvoyons aux travaux de TSANG [Tsang85] ainsi qu'au § 6 du livre de Ping SHENG [Sheng95] pour plus de détails.

3.6 Conclusion et perspectives

L'équation du transfert radiatif ne s'en sort pas mal de cette discussion : sa forme traduit bien le transport de la luminance (la transformée de WIGNER du champ) aux

grandes échelles spatiales, même si le potentiel des diffuseurs est fort et que l'approximation de BORN échoue. Il convient cependant de rappeler que l'ETR généralisée a été obtenue pour un milieu statistiquement homogène, donc sans prendre en compte les effets de bords ni les interfaces. Il faut donc modéliser ceux-ci au cas par cas avec des coefficients de réflexion et de transmission, par exemple. En outre, l'ETR est seulement valable lorsque l'on peut parler de la propagation d'ondes dans le milieu : formellement, ceci se traduit par un libre parcours moyen beaucoup plus grand que la longueur d'onde (régime de faible diffusion). L'ETR ne donne donc aucun accès à la localisation des ondes.

Dans la littérature, l'on rencontre souvent des affirmations moins ambitieuses quant au statut de l'ETR : celle-ci ne serait valable que dans l'approximation de BOURRET [Kravtsov96, Luck93] ou de “*single group*”. En effet, l'analyse de BARABANENKOV et FINKEL'BERG [Barabanenkov67] montre que la validité de l'approximation de BOURRET entraîne le régime de faible diffusion : le champ se propage dans le milieu, les diffuseurs se voient dans le champ lointain et la dispersion spatiale (la dépendance de l'opérateur de masse avec le vecteur d'onde) est négligeable. Sous ce point de vue, l'approximation de BOURRET apparaît donc comme une *condition suffisante* pour l'application de l'ETR. Le libre parcours moyen et la fonction de phase sont alors donnés par les opérateurs de masse et d'intensité que l'on calcule en tenant compte d'un groupe de diffuseurs avec $k = 1, 2, \dots$ particules (caractérisé par une fonction de corrélation à k points). Cette “*single group approximation*” revient à l'approximation de BORN (les formules de RYZHIK, PAPANICOLAOU et KELLER) pour la diffusion par un potentiel aléatoire continue. Pour des particules diffuseurs, des corrélations entre particules peuvent donc en principe être décrites par le formalisme, mais il semble difficile dans la pratique de calculer les sections efficaces de diffusion (voir [Tsang85, MacKintosh89] pour des exemples).

L'équation du transfert radiatif généralisée (« ETR* », éq. 3.56) que nous avons trouvée ici ne dépend pas, *a priori*, de l'approximation de BOURRET. Elle va donc au-delà de l'approximation de la diffusion simple, tout en supposant que la diffusion est « faible » (ondes non-localisées). Les travaux des Russes indiquent les effets physiques nouveaux qui sont décrits par l'ETR* :

- la diffusion devient dépendante (diffuseurs s'éclairant dans le champ proche et intermédiaire, diffusion récurrente)
- la relation de dispersion s'élargit (dispersion spatiale : la partie imaginaire de la fonction de GREEN moyennée n'est plus une fonction δ)
- il apparaît une vitesse de transport pour l'intensité des ondes.

Nous avons identifié les traces de ces effets en développant la partie « propagation » de l'équation de BETHE–SALPETER au-delà de l'approximation habituelle des grandes échelles. Il faut cependant rester prudent sur ces résultats parce que les autres termes dans l'équation de B.–S. donnent des contributions analogues, la fonction de GREEN moyennée et l'opérateur d'intensité. En outre, ces contributions ne sont pas indépendantes parce qu'elles sont reliées entre elles par l'identité de WARD (une généralisation du théorème optique), qui est valable à toute échelle. La liste des effets physiques ci-

dessus semble quand même qualitativement correcte ; LAGENDIJK et VAN TIGGELEN dressent en effet un répertoire analogue [vanTiggelen96].

Finalement, tout semble indiquer que l'équation du transfert radiatif ne peut pas décrire la localisation (forte) des ondes dans un milieu aléatoire. Notre étude peut tout au plus suggérer l'image physique suivante : nous avons constaté que l'équation de BETHE–SALPETER est non-locale, avec une fonction de phase non-positive qui présente des changements de signe. Il est alors concevable que dans l'intégrale sur les processus de diffusion, ceux-ci « interfèrent de façon destructive » : aux grandes distances, le champ ne se propagerait pas et serait *localisé* dans le milieu diffusant. Rappelons dans ce contexte que la fonction de WIGNER n'est pas forcément positive, et que ses « négativités » sont précisément le résultat d'interférences.

Conclusion

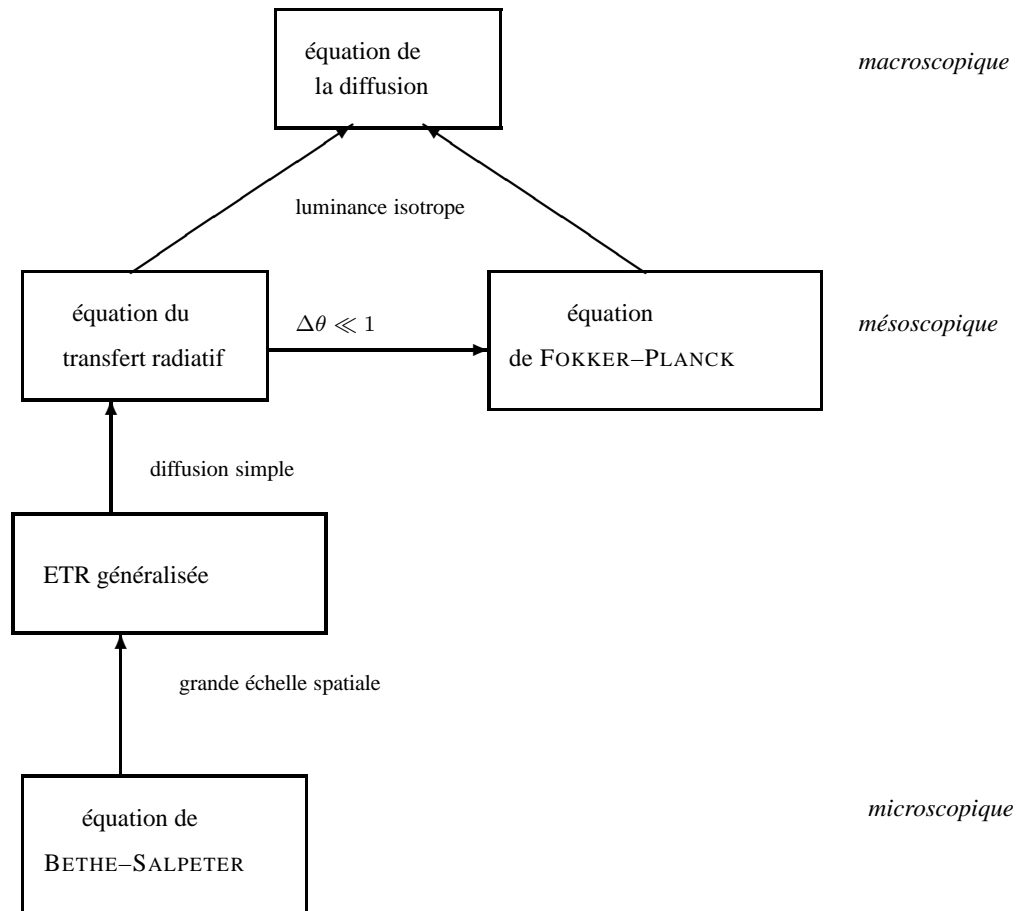
Le transport des ondes

Nous avons étudié dans ce rapport le transport d'une onde (scalaire, électromagnétique ou de matière) à travers un milieu aléatoire diffusant. L'on peut distinguer trois niveaux de description dans la théorie :

1. le niveau « microscopique », où l'on tient compte de l'aspect ondulatoire, en étudiant le champ moyen et la fonction de cohérence. A ce niveau, les effets d'interférence sont inclus dans la théorie, dont les équations de base sont celles de DYSON et de BETHE–SALPETER.
2. un niveau « mésoscopique », où le champ est décrit par une luminance : elle en donne l'intensité, distribuée en position et selon les directions de propagation. La théorie du transfert radiatif, mais aussi la mécanique classique statistique si situent à ce niveau théorique. Les équations de base sont celle du transfert radiatif, de BOLTZMANN ou encore l'équation de FOKKER–PLANCK¹. Le lien à la théorie microscopique passe par l'identification de la luminance avec la fonction de corrélation (de cohérence) du champ en représentation de WIGNER. L'on obtient l'équation du transfert radiatif à partir de celle de BETHE–SALPETER dans la limite des échelles spatiales grandes par rapport à la longueur de corrélation du milieu (les diffuseurs se voient en champ lointain).
3. Finalement, la diffusion dans le milieu redistribue l'intensité de l'onde du faisceau collimaté incident vers la partie diffuse de la distribution angulaire. Aux grandes distances, la distribution angulaire devient isotrope, et le champ est décrit seulement par son densité locale d'énergie. Sur de telles échelles « macroscopiques », le transport de l'onde est gouverné par une équation de la diffusion (spatiale). Dans une expérience avec les atomes où le temps d'interaction est souvent limité, ce sont seulement les atomes les plus lents qui entrent dans le régime du transport diffusif.

Ces différents niveaux théoriques sont représentés sur la figure suivante.

¹Il dépend du rapport entre la longueur d'onde et la longueur de corrélation si c'est l'ETR ou l'équation de F.–P qui est bien adaptée au problème. La deuxième correspond au régime des petites longueurs d'onde où la diffusion se produit de préférence aux petits angles.



Représentation schématique des différents niveaux d'approximation pour le transport des ondes dans un milieu aléatoire.

Perspectives

Les atomes froids placés dans les tavelures lumineuses réalisent un problème de transport en milieu aléatoire dont on peut facilement varier les paramètres caractéristiques (amplitude du potentiel, longueur de corrélation par rapport à la longueur d'onde (température) des atomes, durée de l'interaction, poids relatif des effets réactifs et dissipatifs). Le transport d'atomes représente donc une sorte de « laboratoire » où l'on peut étudier des régimes différents du transport. Etant donné la difficulté de refroidir des atomes en dessous de la limite de recul (longueur d'onde atomique plus grande que la longueur de corrélation des tavelures), c'est d'abord le régime mésoscopique du transport que l'on explorera. Ce n'est pas un domaine dépourvu d'intérêt : l'on peut même envisager de modéliser, en présence du champ de pesanteur, un modèle pour la conduction des électrons dans un solide avec des défauts (potentiel aléatoire plus force constante).

La structure interne des atomes offre une autre possibilité intéressante : il est possible d'étudier par exemple le transport d'un ensemble de spins polarisés à travers un champ magnétique aléatoire (statique). Ce problème est pertinent pour l'interférométrie atomique à états internes : un champ magnétique résiduel induit en effet une rotation aléatoire du spin et réduit le contraste des franges d'interférence. D'un point de vue théorique, l'on pourra exploiter l'analogie au transfert radiatif de la lumière polarisée. Le formalisme de RYZHIK, PAPANICOLAOU et KELLER est également suffisamment général pour trouver rapidement les équations de transport du spin atomique dans l'approximation d'un faible champ résiduel.

Dans le domaine du transfert radiatif proprement dit, les considérations de ce rapport indiquent que l'équation du transfert radiatif est suffisamment générale pour décrire le régime de la diffusion dépendante, à condition de généraliser la section efficace de diffusion à la diffusion par des agglomérats de particules. De la même façon, l'ETR peut incorporer dans une certaine mesure des effets d'interférence comme la rétrodiffusion exaltée. Elle se limite cependant à une description à grande échelle spatiale. A plus courte échelle, le transport est régi par une équation non-locale, et il n'est plus possible de définir une relation de dispersion pour les ondes dans le milieu. L'ETR est également limitée au régime de faible diffusion où le libre parcours moyen est beaucoup plus grand que la longueur d'onde. Le régime opposé correspond à la localisation des ondes pour laquelle il faut revenir à une description microscopique à l'aide de l'équation de BETHE-SALPETER. Il est étonnant qu'il faille en élaborer une théorie à un niveau si fondamental bien que la localisation se manifeste par l'absence de transport à très grande échelle spatiale (voir le titre de l'article d'ANDERSON). Il semble que se trouve là une explication pour la difficulté notoire du problème de la localisation qui reste ouvert même après quarante ans de recherches ardues.

Carsten Henkel
Châtenay-Malabry, juillet 1997

Bibliographie

- [Landragin96b] A. Landragin, G. Labeyrie, C. Henkel, R. Kaiser, N. Vansteenkiste, C. I. Westbrook et A. Aspect, “Specular versus diffuse reflection of atoms from an evanescent-wave mirror”, *Opt. Lett.* **21**, 1581 (1996).
- [Chandrasekhar] S. Chandrasekhar, “Radiative Transfer” (Dover, New York, 1960).
- [Kravtsov96] Y. A. Kravtsov et L. A. Apresyan, “Radiative transfer : new aspects of the old theory” in *Progress in Optics*, édité par E. Wolf (Elsevier Science, Amsterdam, 1996), Vol. XXXVI, pp. 179–244.
- [Anderson58] P. W. Anderson, “Absence of diffusion in certain random lattices”, *Phys. Rev.* **109**, 1492 (1958).
- [vanTiggelen96] A. Lagendijk et B. A. van Tiggelen, “Resonant multiple scattering of light”, *Phys. Rep.* **270**, 143 (1996).
- [Overhauser59] E. C. McIrvin et A. V. Overhauser, *Phys. Rev.* **115**, 1531 (1959).
- [Osborn65] R. K. Osborn et M. Natelson, “Kinetic equations for neutron distributions”, *J. Nucl. Energy* **19**, 619 (1965).
- [Riska68] P. Jauho et D. O. Riska, “On the quantum-mechanical foundations of the neutron transport theory”, *Nucl. Sci. Eng.* **33**, 303 (1968).
- [Bobker79] D. S. Bobker, “A quantum neutron diffusion equation and its classical limit”, *Rep. Math. Phys.* **15**, 1 (1979).
- [MandelWolf] L. Mandel et E. Wolf, “Optical coherence and quantum optics” (Cambridge University Press, Cambridge, 1995).
- [Rytov] S. M. Rytov, Y. A. Kravtsov et V. I. Tatarskii, “Wave Propagation Through Random Media” in *Principles of Statistical Radiophysics* (Springer, Berlin, 1989).
- [Pomraning95] G. C. Pomraning et A. K. Prinja, “Transverse diffusion of a collimated particle beam”, *J. Stat. Phys.* **80**, 625 (1995).
- [Luck96] E. Amic, J. M. Luck et T. M. Nieuwenhuizen, “Anisotropic multiple scattering in diffusive media”, *J. Phys. A* **29**, 4915 (1996).
- [Frisch66] U. Frisch, “La propagation des ondes en milieu aléatoire et les équations stochastiques”, *Ann. Astrophys. (Paris)* **29**, 645 (1966), **30**, 565–601 (1967).

- [Feld94] L. T. Perelman, J. Wu, I. Itzkan et M. S. Feld, “Photon migration in turbid media using path integrals”, *Phys. Rev. Lett.* **72**, 1341 (1994).
- [Gori94] F. Gori, D. Ambrosini et V. Bagini, “Field correlations within a homogeneous and isotropic source”, *Opt. Commun.* **107**, 331 (1994).
- [Nussenzweig87a] H. M. Nussenzweig, J. T. Foley, K. Kim et E. Wolf, “Field Correlations within a Fluctuating Homogeneous Medium”, *Phys. Rev. Lett.* **58**, 218 (1987).
- [Finkelberg67] V. M. Finkel’berg, “Wave propagation in a random medium. The correlation group method”, *Zh. Eksp. Teor. Fiz.* **53**, 401 (1967), [*Soviet Phys. JETP* **26**, 268 (1968)].
- [Dalibard95] T. W. Hodapp, C. Gerz, C. Furtlehner, C. I. Westbrook, W. D. Phillips et J. Dalibard, “Three-dimensional spatial diffusion in optical molasses”, *Appl. Phys. B* **60**, 135 (1995).
- [vanKampen] N. G. van Kampen, “Stochastic Processes in Physics and Chemistry” (North-Holland, Amsterdam, 1981).
- [Keller96] L. Ryzhik, G. Papanicolaou et J. B. Keller, “Transport equations for elastic and other waves in random media”, *Wave Motion* **24**, 327 (1996).
- [Barabanenkov67] Y. N. Barabanenkov et V. M. Finkel’berg, “Radiation transport equation for correlated scatterers”, *Zh. Eksp. Teor. Fiz.* **53**, 978 (1967), [*Soviet Phys. JETP* **26**, 587 (1968)].
- [Luck93] T. M. Nieuwenhuizen et J. M. Luck, “Skin layer of diffusive media”, *Phys. Rev. E* **48**, 569 (1993).
- [Sheng95] P. Sheng, “Introduction of Wave Scattering, Localization, and Mesoscopic Phenomena” (Academic, San Diego, 1995).
- [Tsang85] L. Tsang et A. Ishimaru, “Radiative wave and cyclical transfer equations for dense nontenuous media”, *J. Opt. Soc. Am. A* **2**, 2187 (1985).
- [Watson69] K. M. Watson, “Multiple scattering of electromagnetic waves in an underdense plasma”, *J. Math. Phys.* **10**, 688 (1969).
- [Tuallet] J.-M. Tualle, “Réflectance résolue dans le temps et dans l’espace appliquée à l’étude des propriétés optiques de milieux diffusants”, Thèse de doctorat, Université Paris-Nord (Villetaneuse), 1996.
- [MacKintosh89] F. C. MacKintosh et S. John, “Diffusing-wave spectroscopy and multiple scattering of light in correlated random media”, *Phys. Rev. B* **40**, 2383 (1989).